數值模擬在二氧化碳封存與地熱開發中的應用

國立台灣大學新碳勘科技研究中心

郭家瑋副研究員 2025/10/31





地下環境議題源自多重耦合過程(Multi-Physics Coupling)



多相流耦合數值模式

運用熱水力化四機 制彈性處理各類地 下環境議題



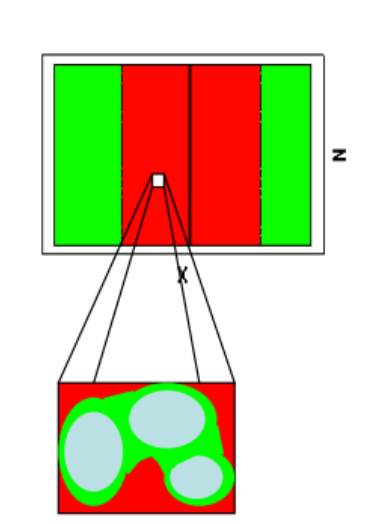
2013-2025 Research Experience on Coupled Multiphysics Simulations

Topics		Simulation Scale	Simulator	Coupled Processes
CCS	發展二氧化碳/鹽水二相流行為之解析與數值模型,探討岩石異質性、重力與毛細效應等的物理核心機制	Core Scale	0.14 0.26 1P 15.24 cm	Only Multiphase Flow
	建立三維場址模型,碳封存模擬流程,分析模擬四大封存機制(包含礦化封存),支援場址風險評估	Field Scale	12/ IREACT/	Multiphase Flow coupled TMC
Geothermal	整合 地質、地化、地物 等多源資料,建立 高解析度三維地熱地質模型與潛能評估, 進行儲集層模擬	Field Scale	From Coupled TH to THMC Processes	
Nuclear Waste Disposal	參與國際合作 DECOVALEX ,建構全尺度 熱-水-力(THM)耦合模擬,深入探討膨潤	In-situ Scale	3 Materials: 1. Granite 2. Concrete Plug 3. Blocks	Coupled HM , THM , HC(R) and
Assessn Fr	om core scale to field scale; om multiphase to variably satura om physical to chemical mechan	(TCE)	THMC(R) Processes	
Pollutio Fr	ifferent coupled processes; om using existing codes to devel ur own simulation framework	oping	1	Coupled HC(R) Processes

國立臺灣大學新碳勘科技研究中心 —— 氧化碳對存在深部鹽水層之關鍵議題 Science and Technology Research Institute fc

- ◆多少比例的孔隙體積被二氧化碳佔據?
- ◆注入的二氧化碳會遷移多遠?
- ◆有多少二氧化碳會溶解在鹽水中?溶解速度有多快?
- ◆有多少二氧化碳會因毛細作用而被封存?
- ◆二氧化碳洩漏到斷層帶的速度有多快?

Multi-Phase Flow



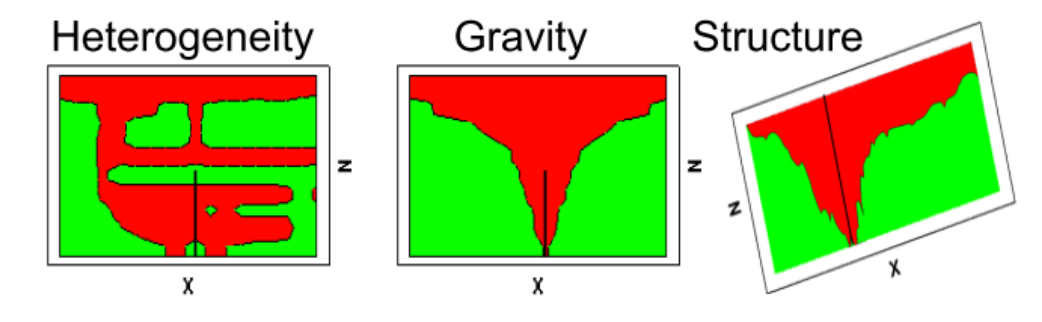
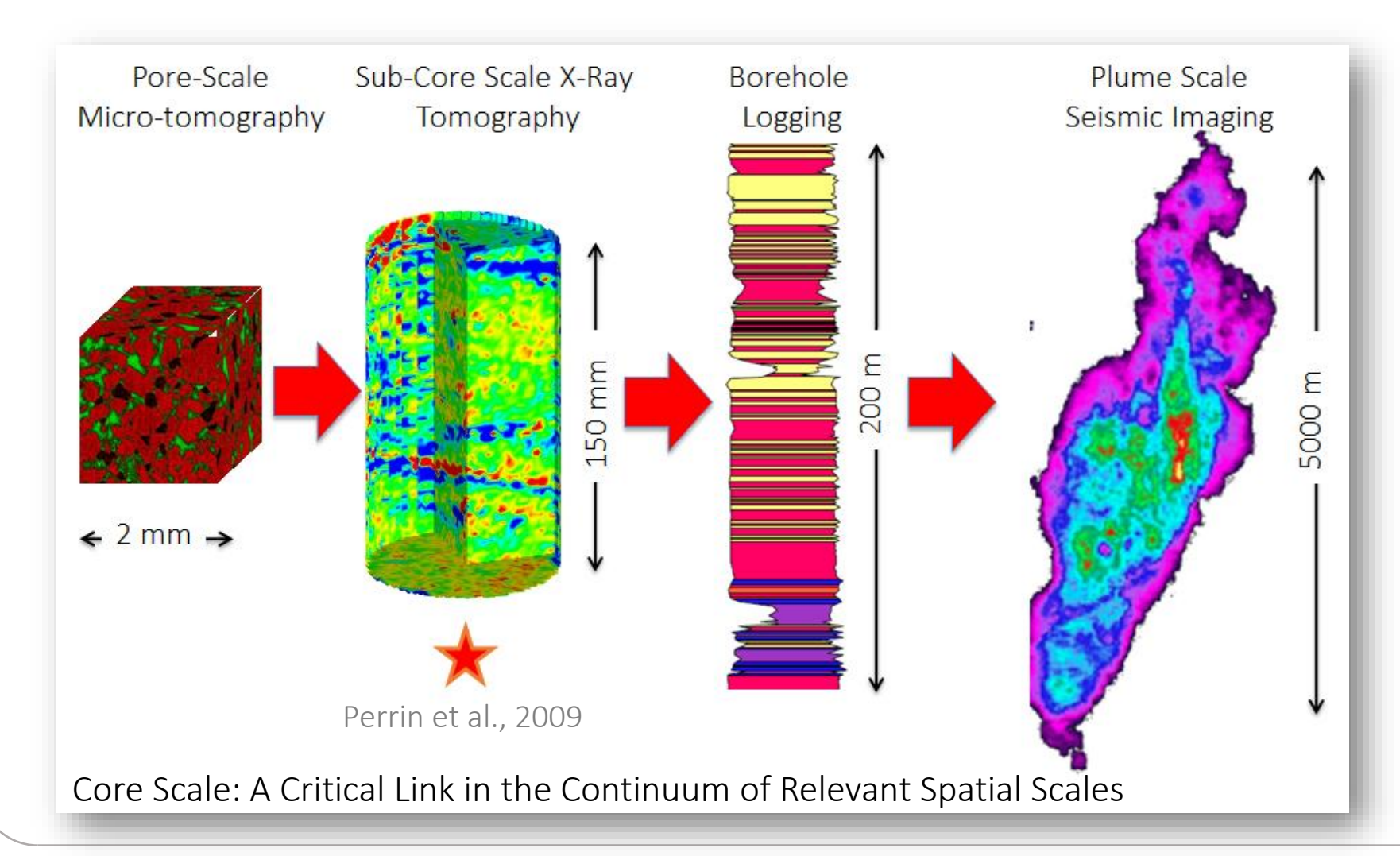


Image of Rock with CO2 2 mm Image from Liviu Tomutsa, LBNL

二氧化碳遷移除了牽涉到地層構造、多相流、 性,還取決於黏滯力、重力和毛細力之間複雜的交互作用



Rock Heterogeneity: Rock properties vary spatially



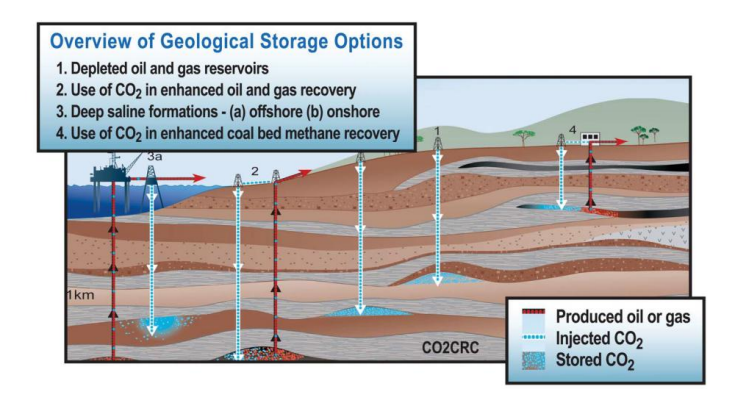
These different scales of heterogeneity result in complexity when solving multiphase flow problems





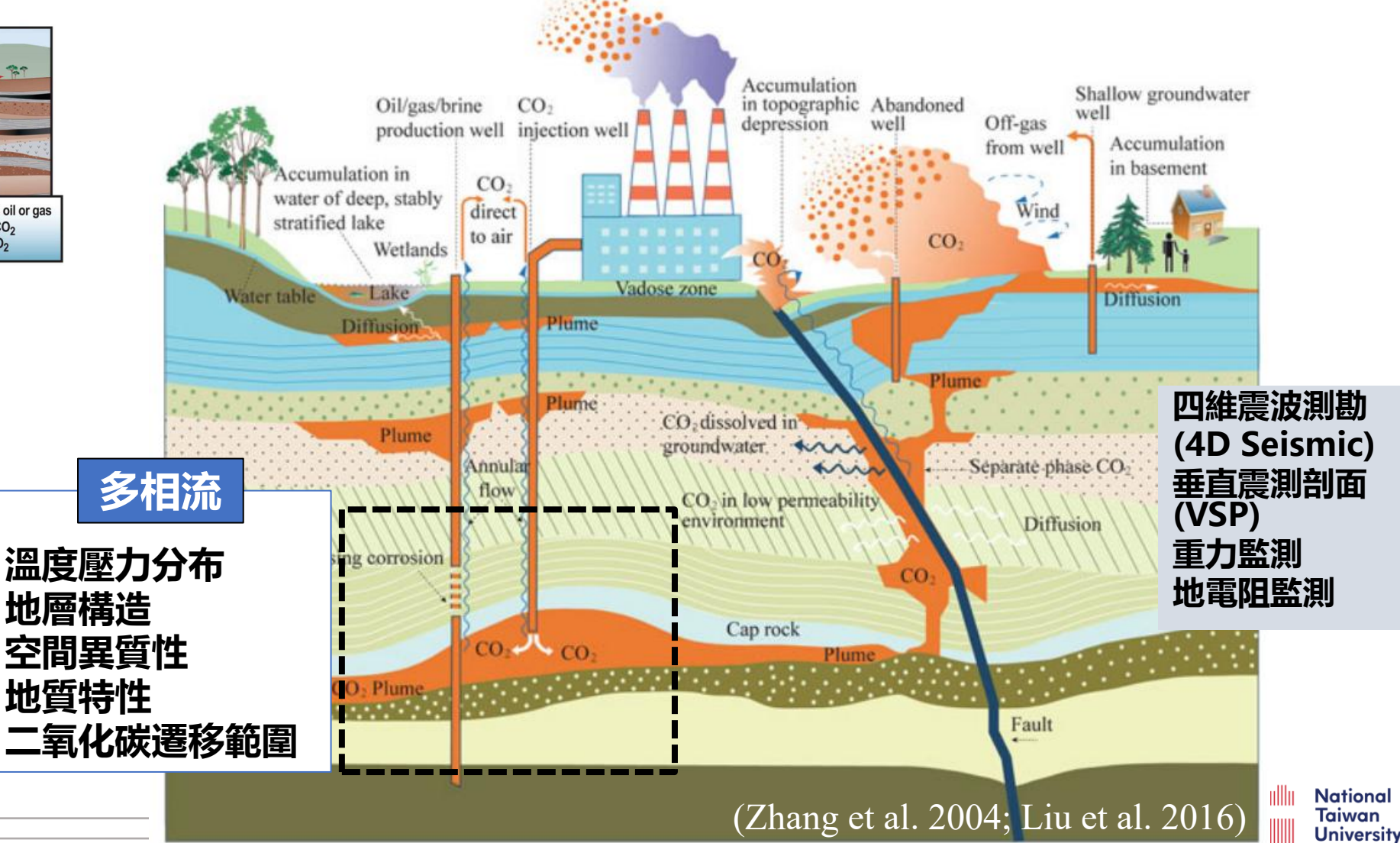
國立臺灣大學新碳勘科技研究中心 Science and Technology Research Institute

Fundamental Subsurface Processes Thermal and Hydrologic Processes



Multi-component:

CO₂, H₂O, dissolved salts in the brine, and rock minerals **Multi-phase:** CO₂-rich phase and brine **Integrated Media:**Porous Media, fractures, heterogeneity etc.



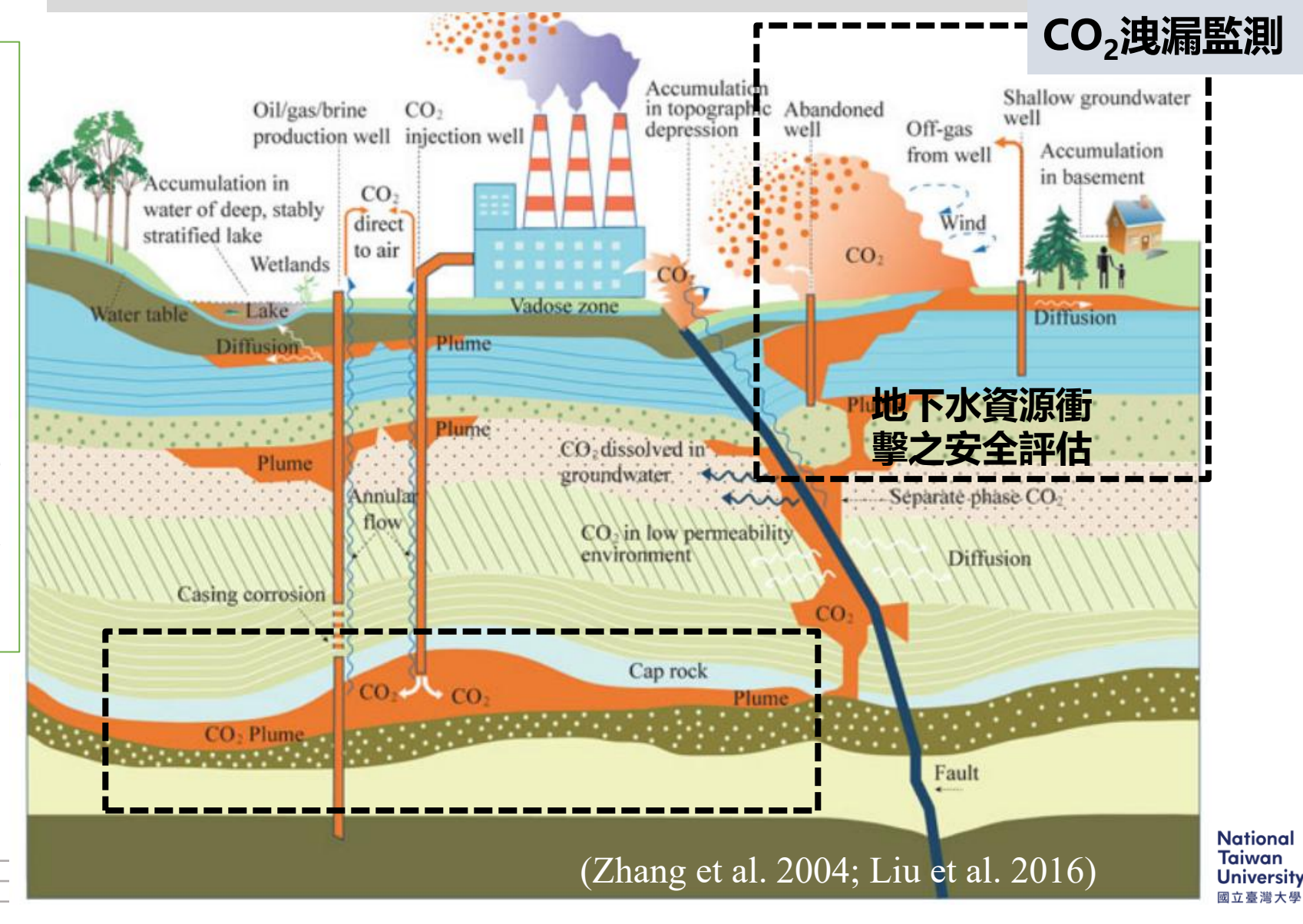


國立臺灣大學新碳勘科技研究中心 Science and Technology Research Institute

Fundamental Subsurface Processes Geo-Chemical Processes

相關的化學作用

- ✓ 水相錯合反應 (Aqueous speciation)
- ✓ 礦物的溶解與沈澱反應 (Dissolution / Precipitation)
- ✓ 微生物介導的氧化還原反應 (Microbial-mediated redox reactions)
- ✓ 溶液與礦物之間的離子交換作用 (Ion exchange between solutions and minerals)
- ✓ 發生於多相界面的表面化學反應(例如表面錯合反應與吸附作用,Surface complexation / Sorption)
- ✓ 這些化學過程對孔隙率與滲透率的影響 (Effects of these processes on porosity and permeability)





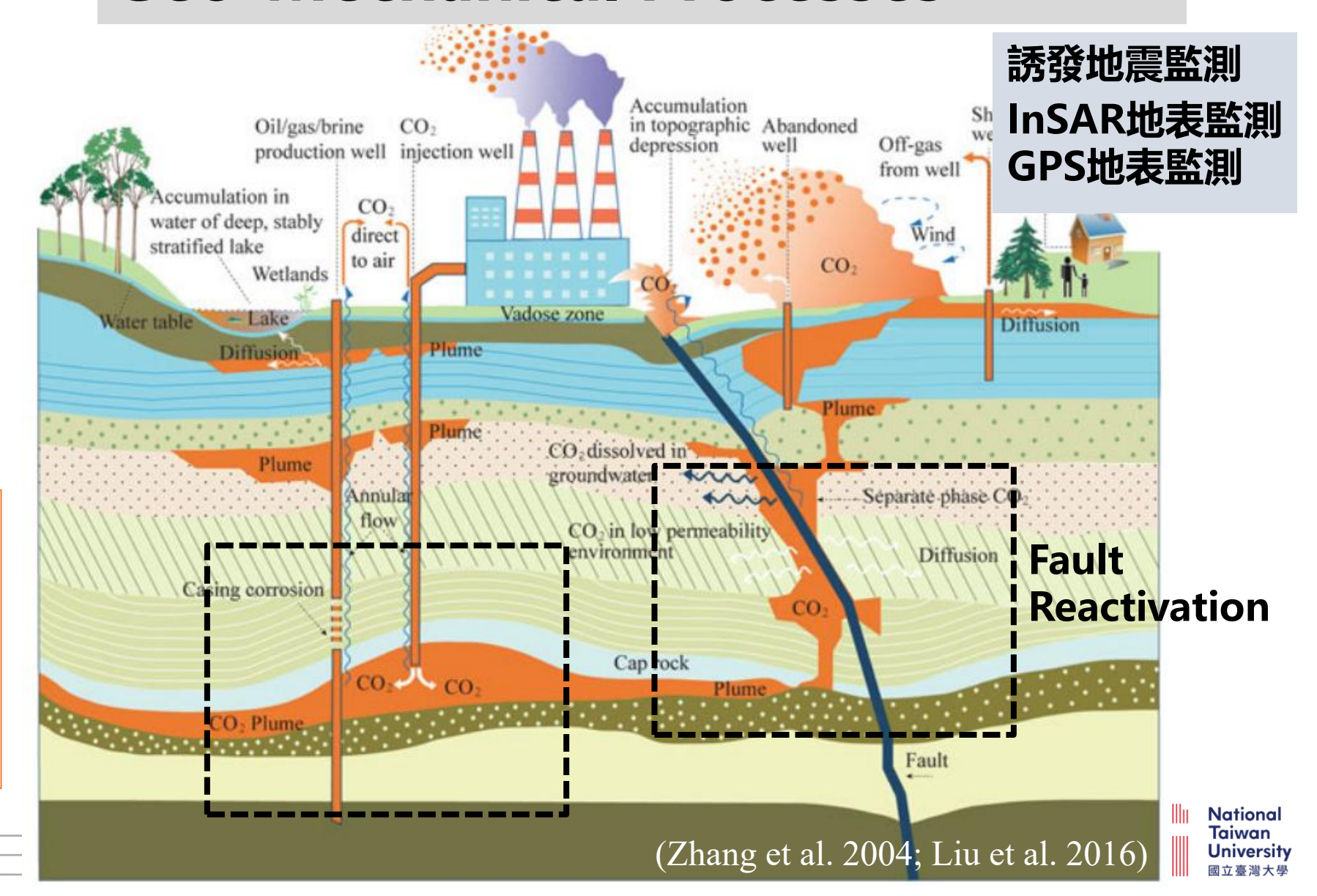
國立臺灣大學新碳勘科技研究中心 Science and Technology Research Institute

Fundamental Subsurface Processes **Geo-Mechanical Processes**

當流體注入或溫度改變時, 儲層裡的岩石會受到壓力、 熱膨脹或化學變化的影響而 變形。要描述這種變形,就 需要「應力-應變關係式」, 不同的力學模型,就是對這 種關係的不同假設。

力學

壓力累積誘發地 震風險評估 蓋層完整性評估 蓋層洩漏風險 斷層洩漏風險

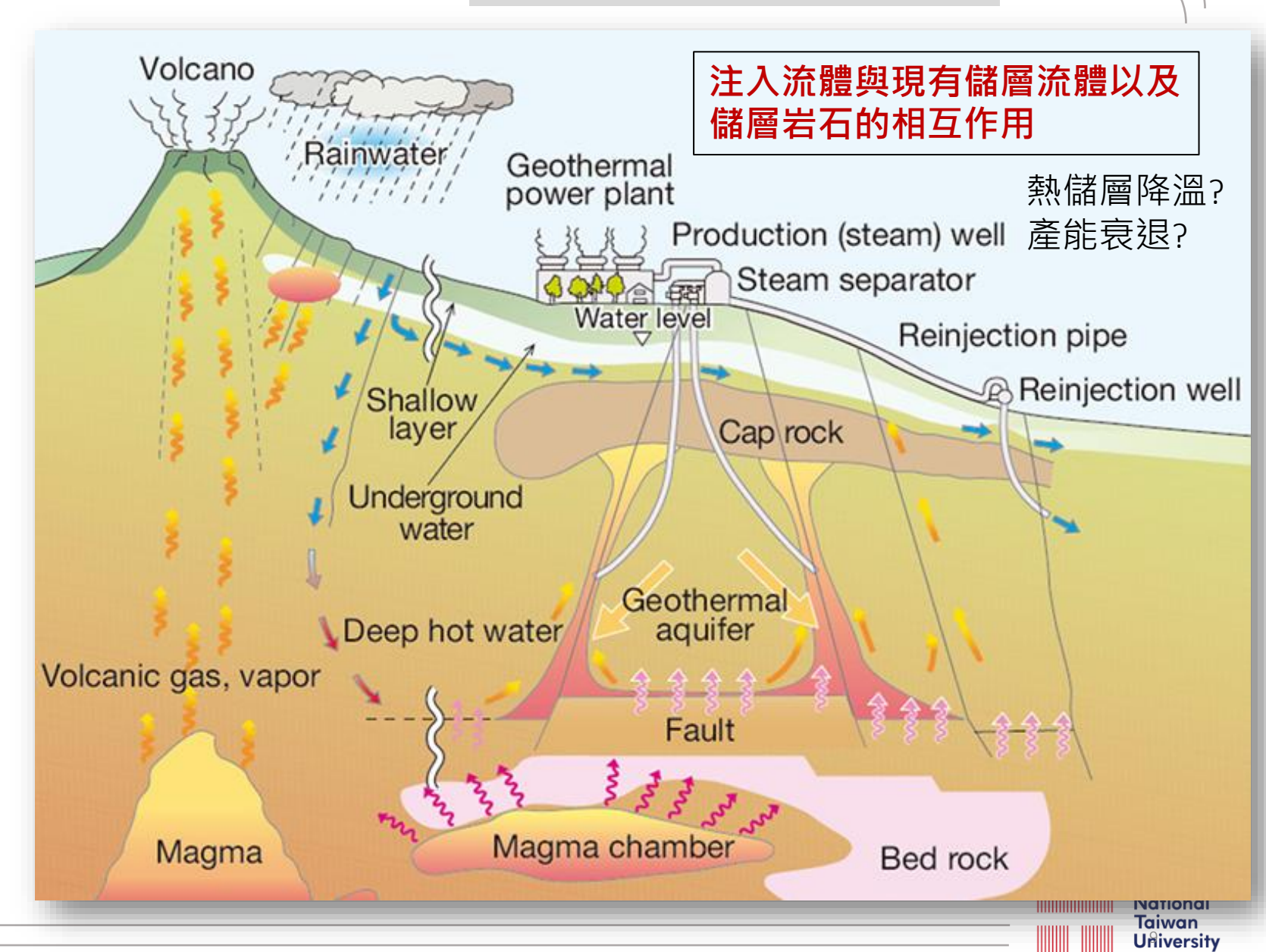


地熱機制

地熱系統中涉及的物理機制包括熱、 流體、力學及化學過程,如

- ✓ 裂隙/多孔介質中的單相或多相流 動 (水-蒸氣系統)
- ✓ 局部或非局部熱平衡 (熱源、自 然對流)
- ✓ 反應性或非反應性化學物質傳輸 (矽酸鹽溶解、方解石沉澱、水 岩反應、腐蝕)
- ✓ 應力相關的孔隙變形, 裂隙開合

熱如何驅動水流 地層熱擾動可造成流 體重新分布





國立臺灣大學 地下系統的多重耦合與結構複雜性: 數值模擬的必要性

Governing equations:

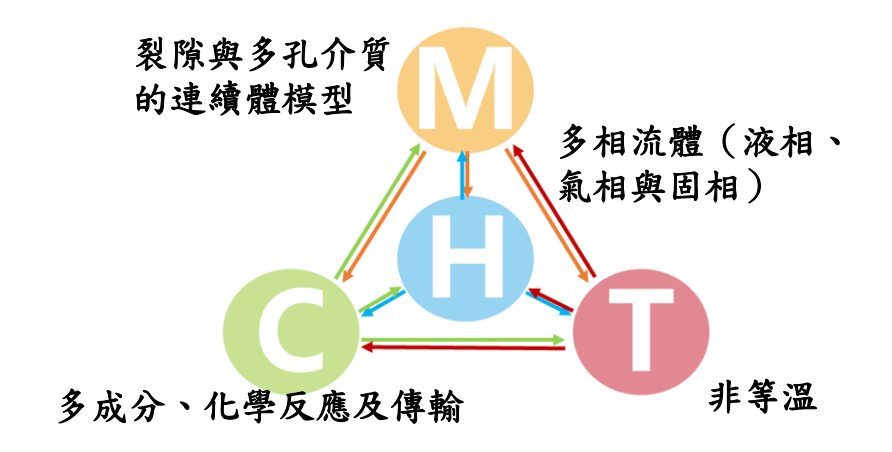
- Based on conservation of mass and momentum;
- Based on conservation of energy;

Constitutive laws:

o Fourier's law; Darcy's law; Hooke's law, poroelastic law or other models; Law of mass action, rate laws

Couping effects:

Implements a mathematical model for a physical system to study the behavior of systems whose mathematical models are too complex to provide analytical solutions, as in most nonlinear systems.



Multi-component:

CO₂, H₂O, dissolved salts in the brine, and rock minerals

Multi-phase:

CO₂-rich phase and brine

Integrated Media:

Porous Media, fractures, heterogeneity etc.



數值模擬在地熱中的應用

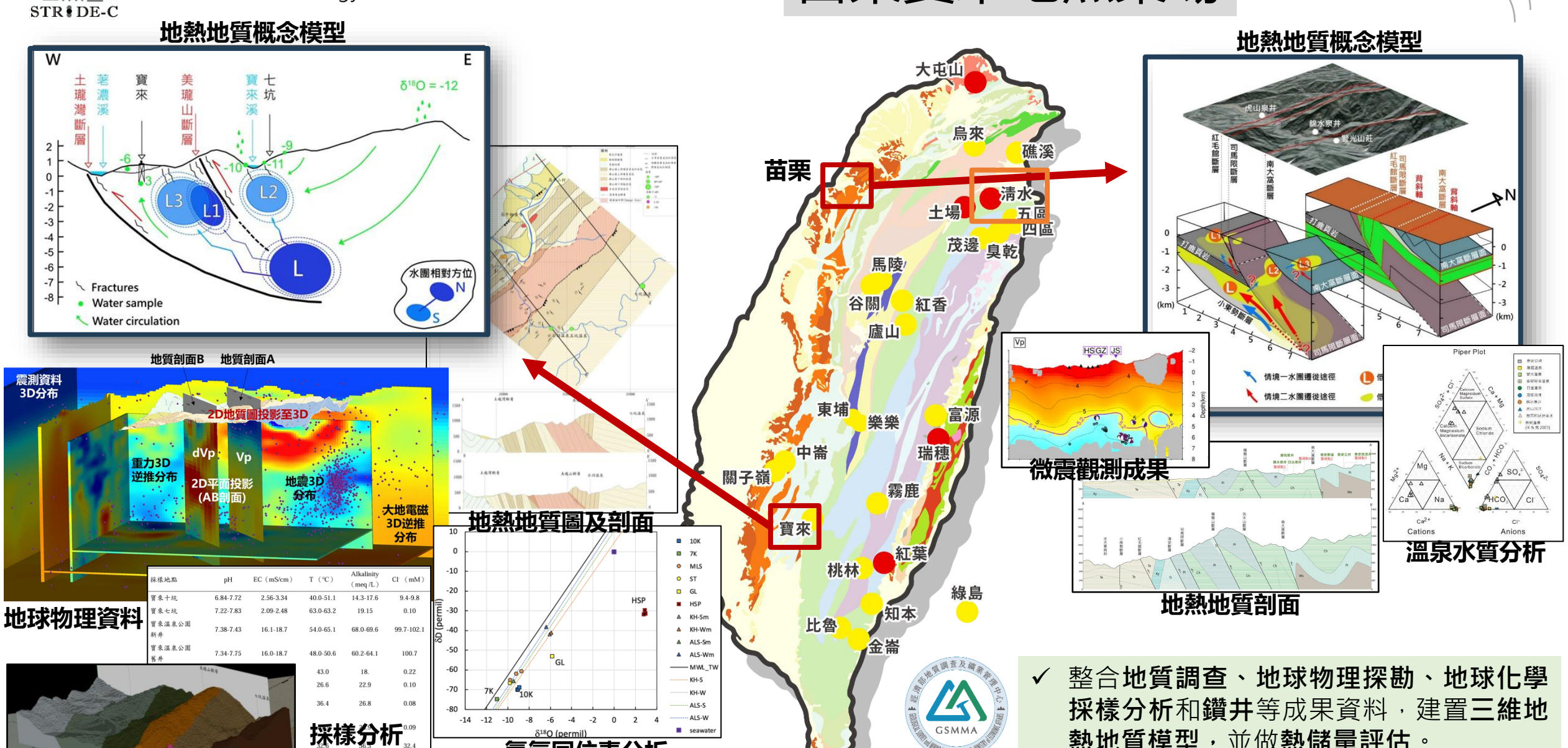


國立臺灣大學新碳勘科技研究中心

Science and Technology Research Institute for DE-Carbonization

地熱地質概念模型建置

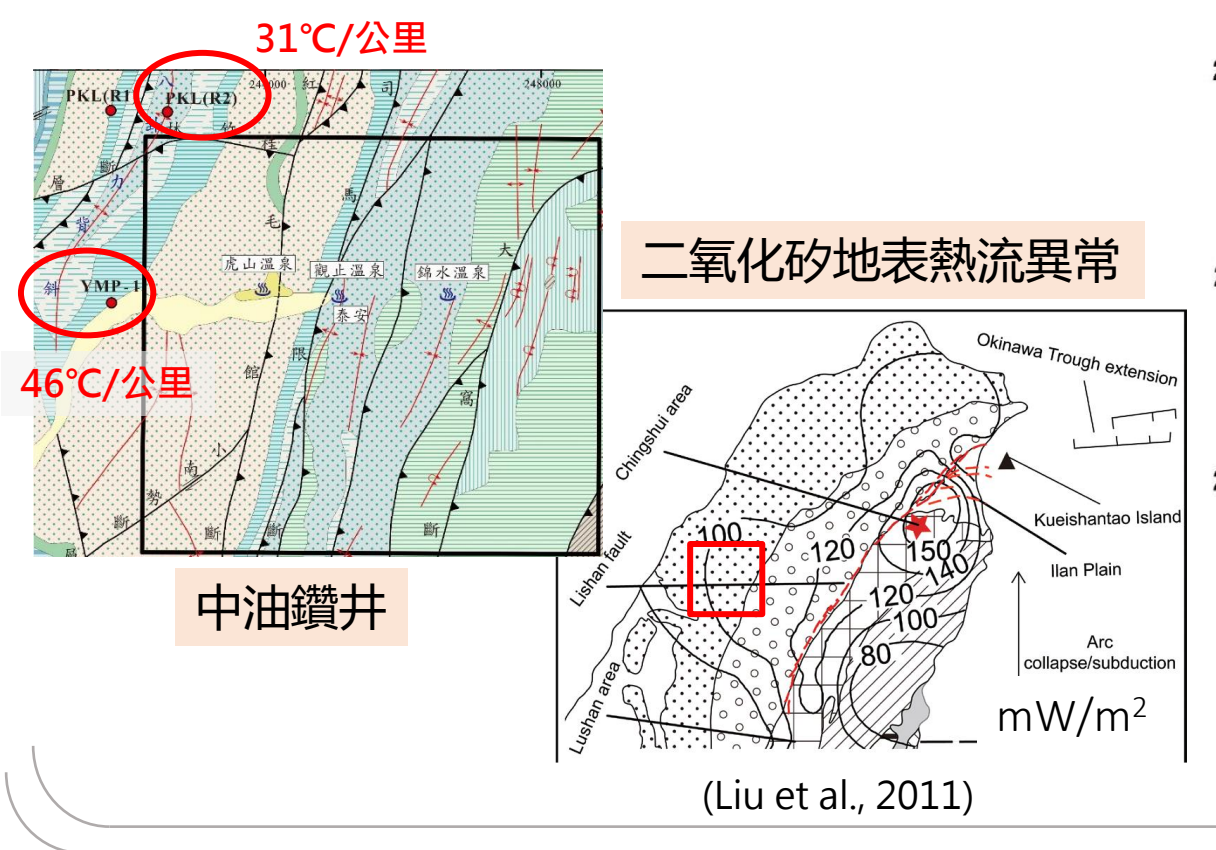
苗栗寶來地熱案場

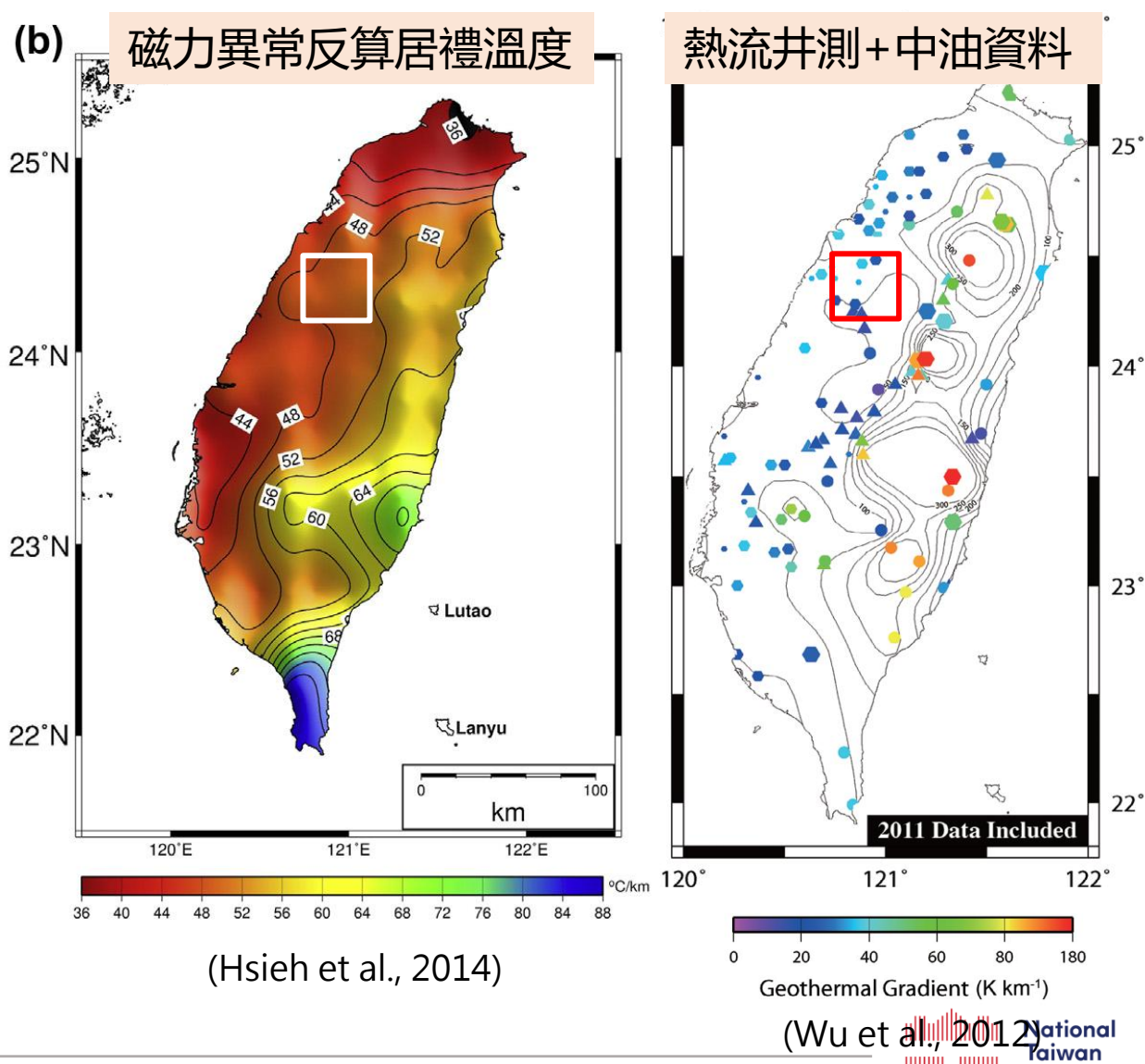


熱地質模型,並做熱儲量評估。

Science and Technology Research Institute for DE-Carbonization

- ▶ 中油公司鑽井顯示,此區域之地溫梯度約為 30至50°C/公里
- ▶ 熱流估算地溫梯度值亦多介於40至50°C/公里

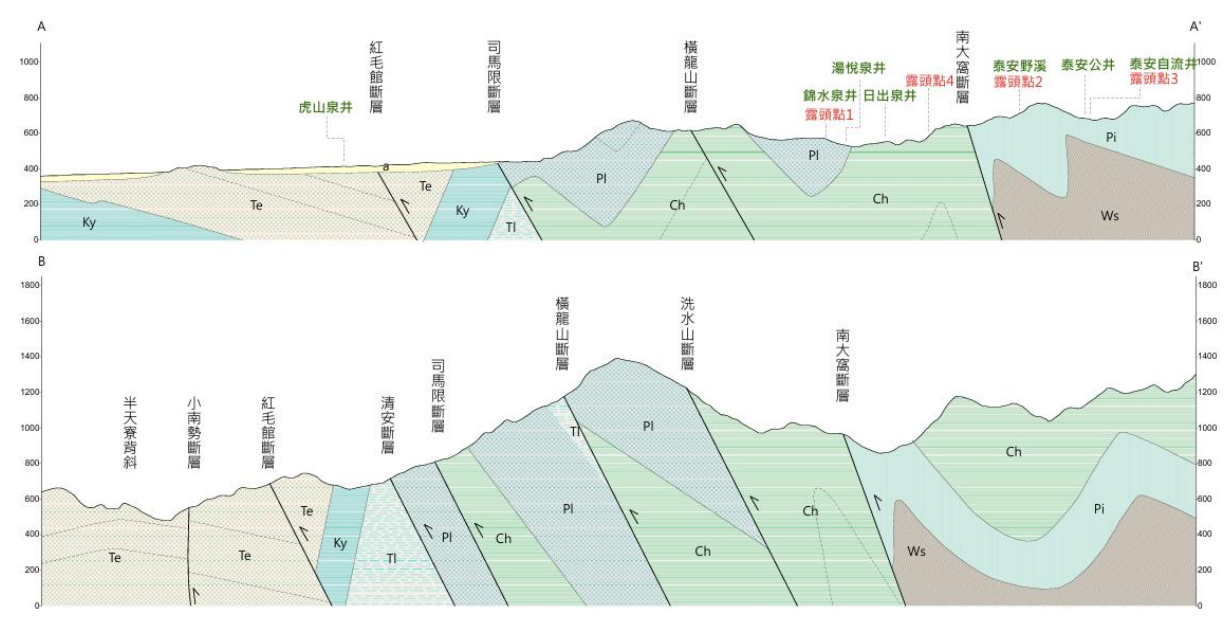




Science and Technology Research Institute for DE-Carbonization

上島山 **%** 倒轉屬理走向及傾斜 推測或掩蓋斷層

泰安地熱區地熱地質圖 及兩條代表性剖面



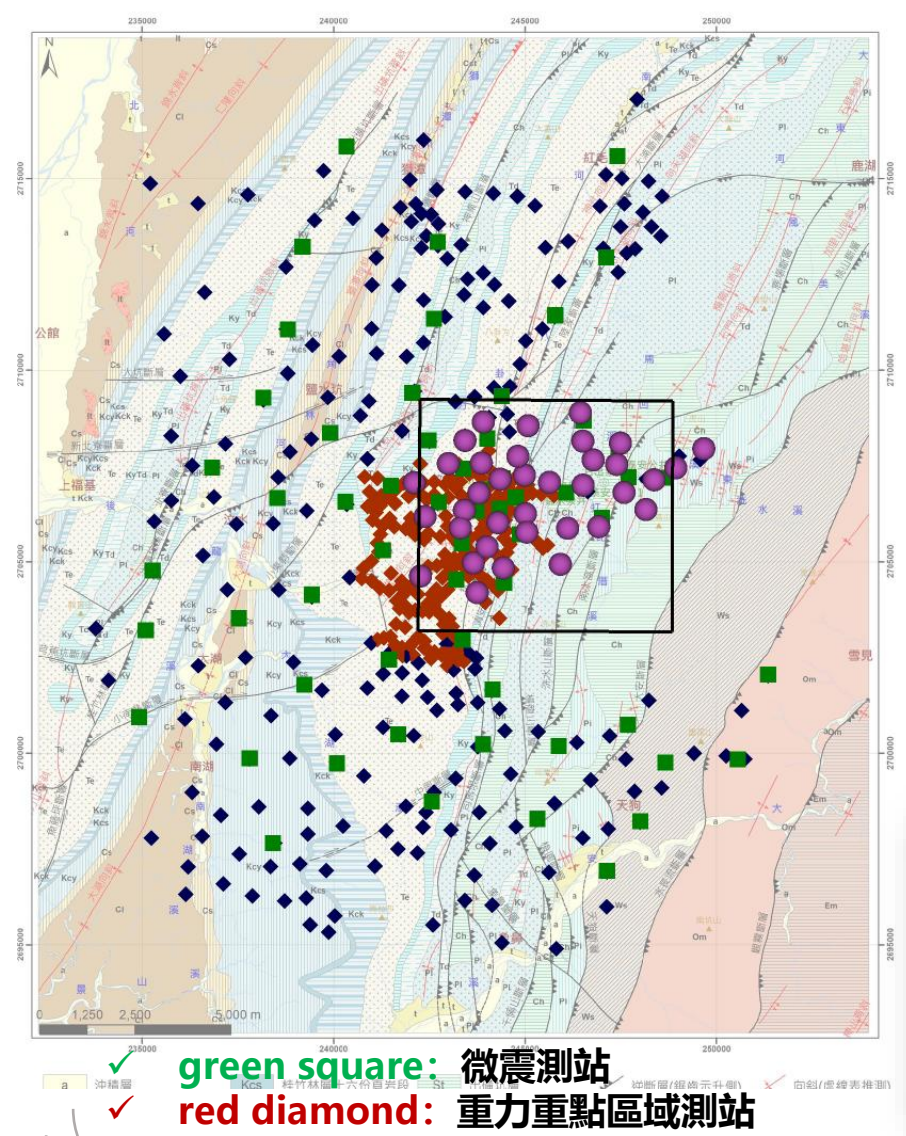
地層分布、岩性、斷層構造 區域構造連續性、岩層走向



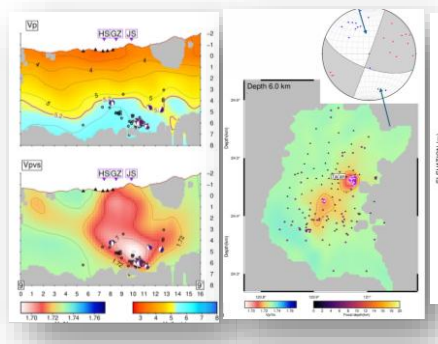
國立臺灣大學新碳勘科技研究中心

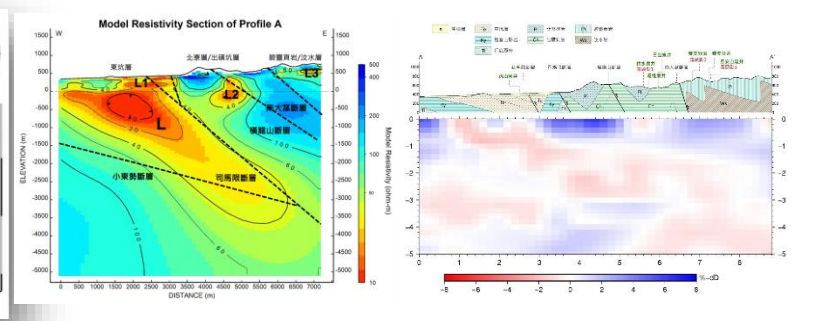
Science and Technology Research Institute for DE-Carbonization

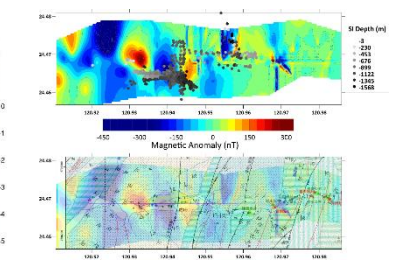
地物探勘項目



地球物理探勘方法	探測目的	測站數 或區域	平面空 間解析	解析深度
大地電磁	熱、流體、孔隙、岩性	35站	百公尺級	5 km 以上
微震監測(30天)	裂隙、應力	60站	數百公尺級	5-10km
震波成像	區域地體構造、岩性、裂隙、流	60站	數百公尺級	5 km 以上
(Vp, Vs, Vp/Vs)	體			
重力	區域背景地體構、岩性	320點	百公尺級	5 km 以上
磁力 (無人機)	岩性、地表裂隙	6*0.5	公尺級	1 km
		km ²		
熱紅外 (無人機)	地表溫度、熱、流體、地表裂隙	6*0.5	公分級	地表
		km ²		



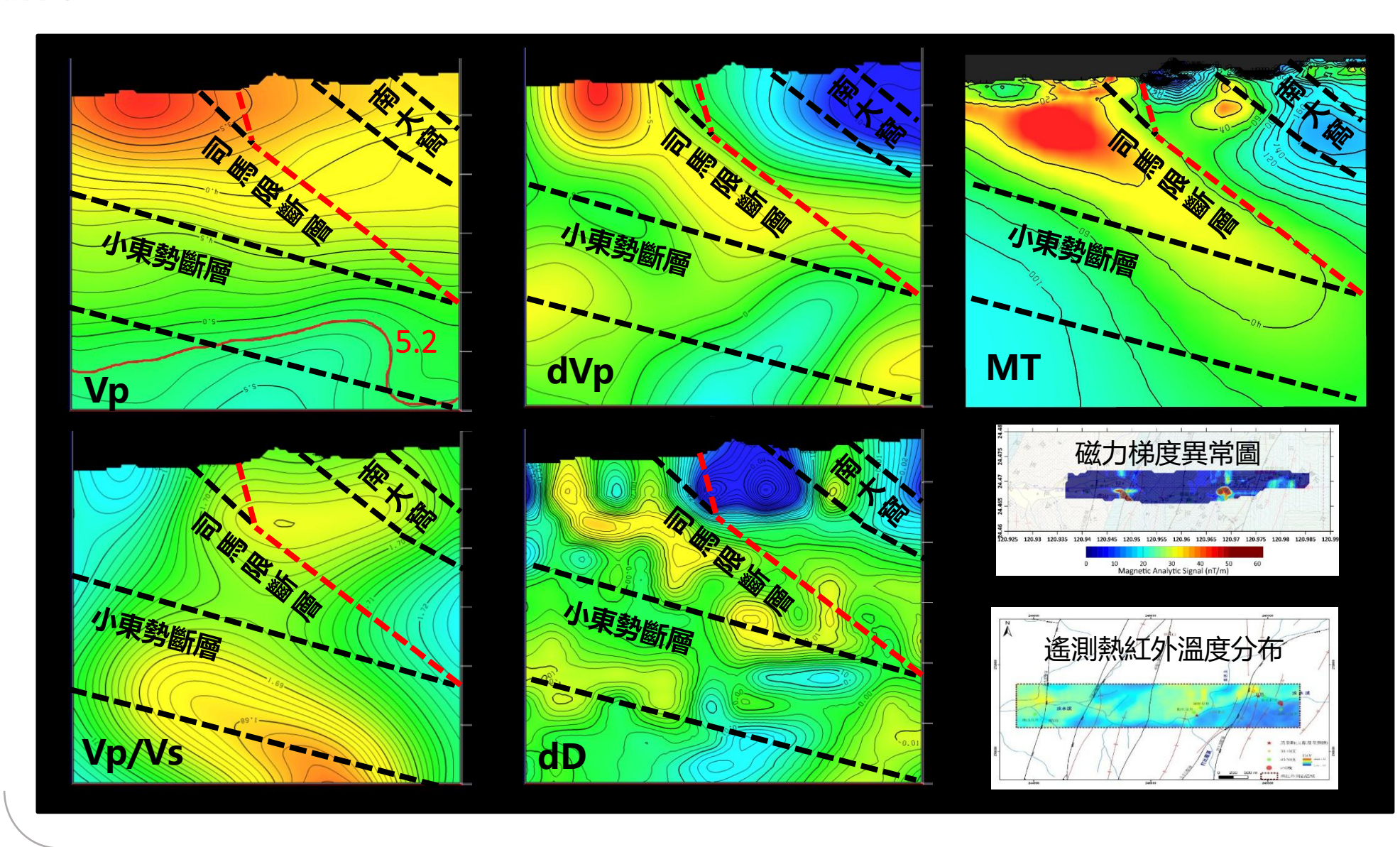


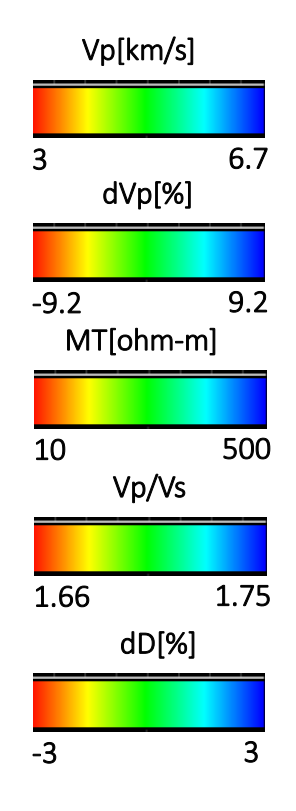


blue diamond: 重力外圍測站

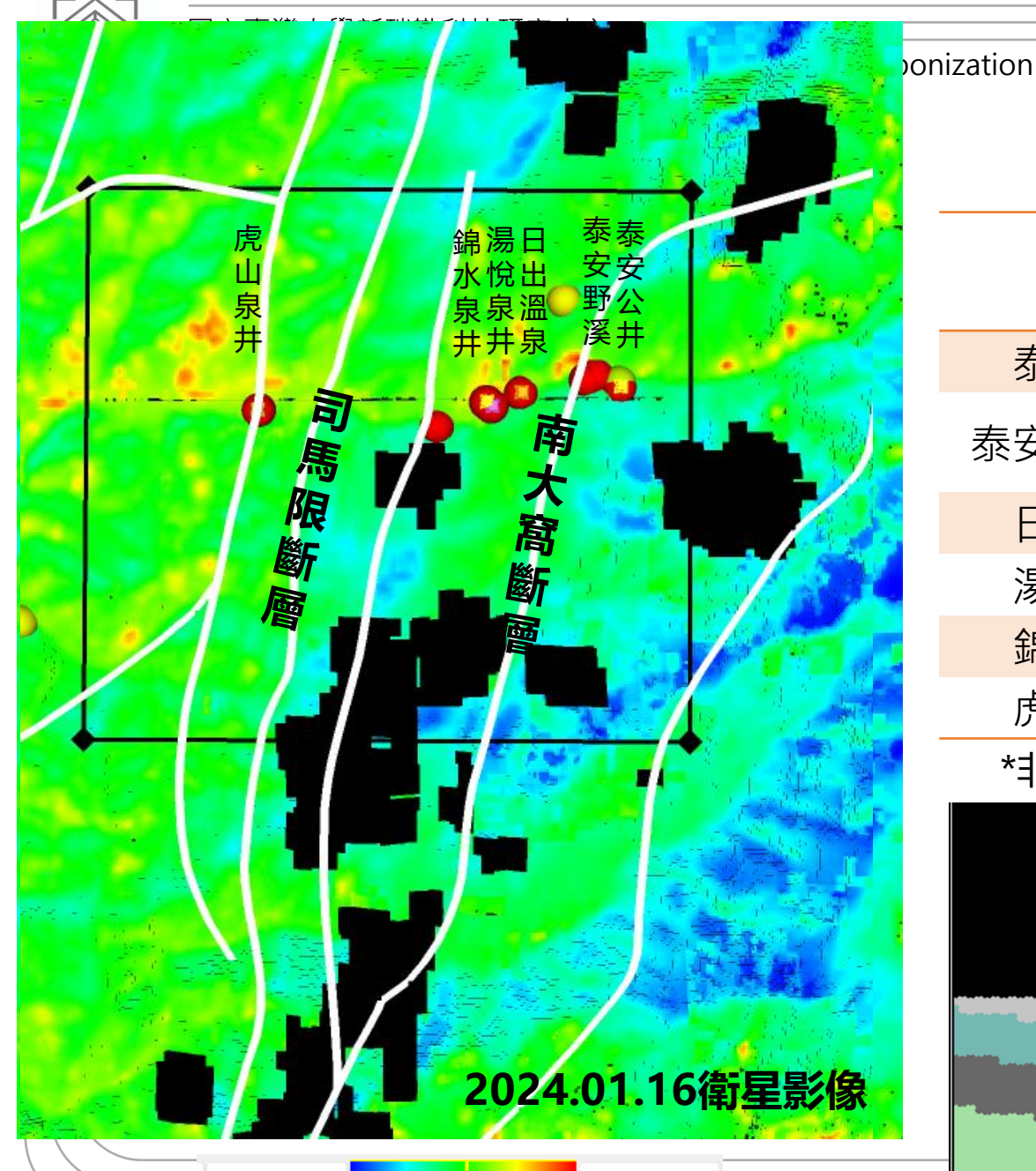
purple circle: 大地電磁測站









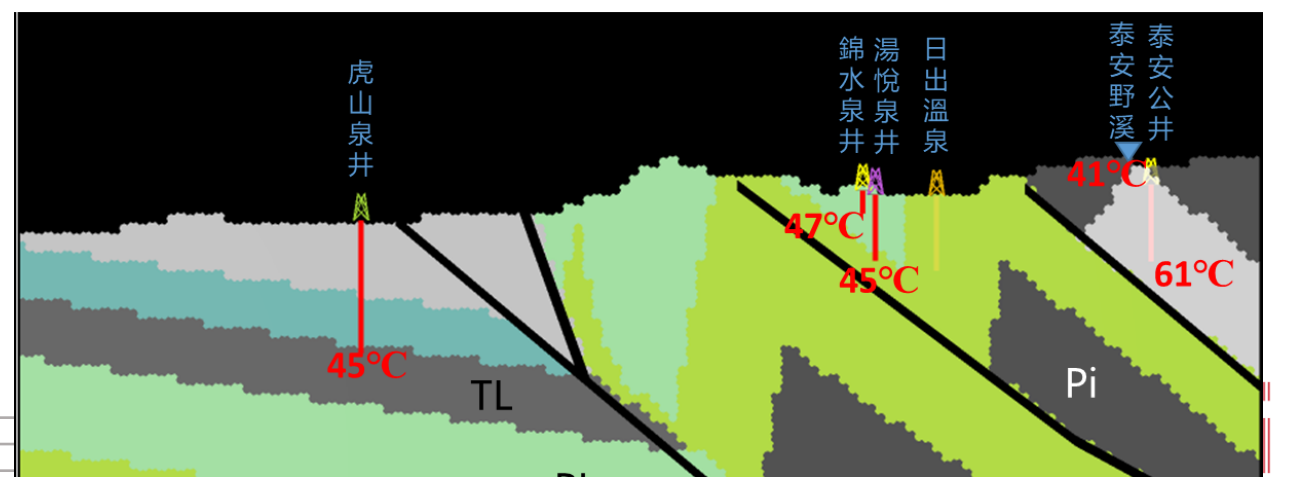


9

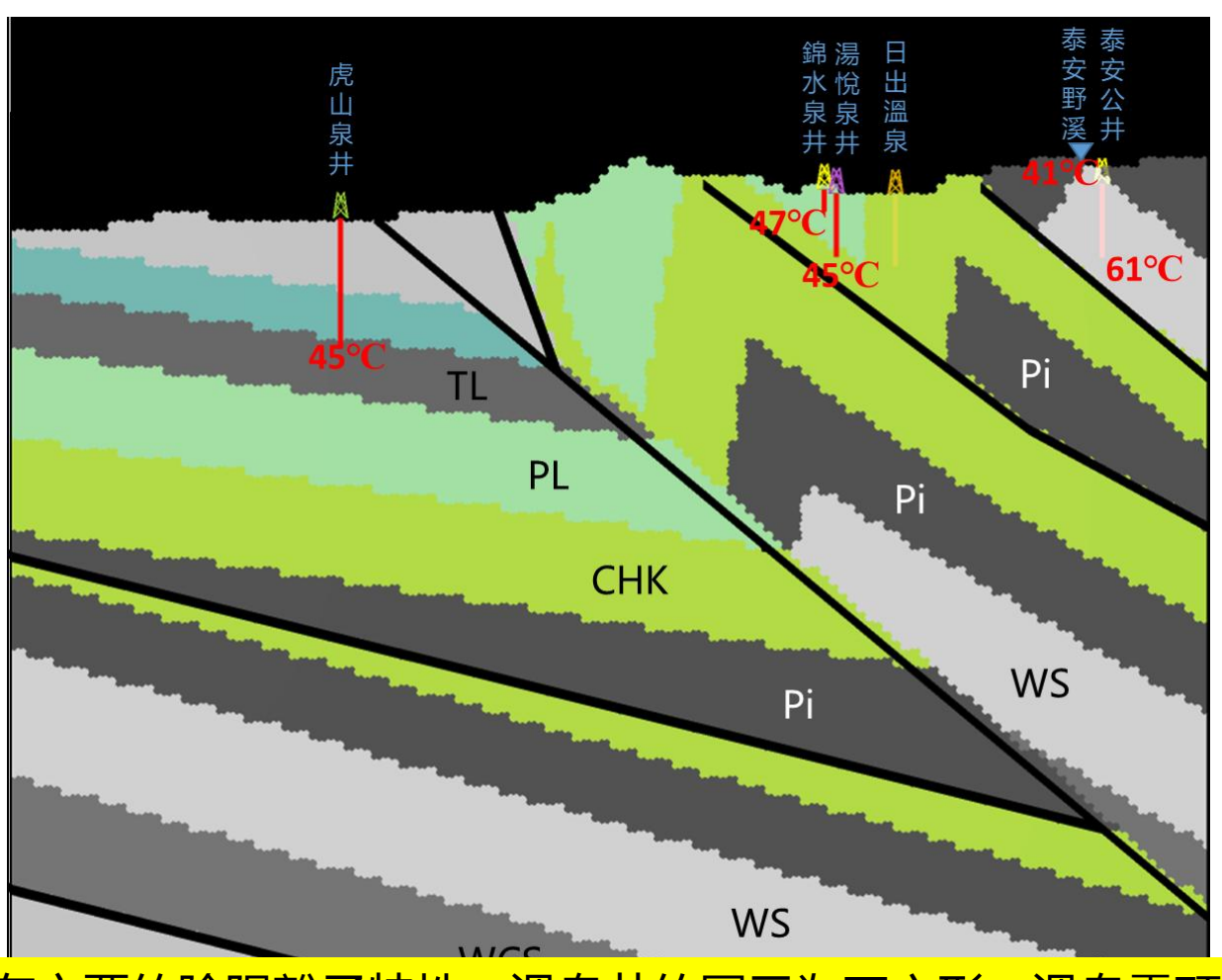
苗栗-泰安地球化學採樣 +遙測熱紅外衛星影像成果

地點	井深 (m)	溫度 (℃)	導電度EC (us/cm)	рН
泰安公井	200	61	2753.1	7.8
泰安野溪溫泉	-	41	1809.8	7.2
日出溫泉	150	31*	1561.9	8.3
湯悅泉井	450	45	3034.9	7.6
錦水泉井	200	47	2997.9	8
虎山泉井	700	45	4794.7	8.1

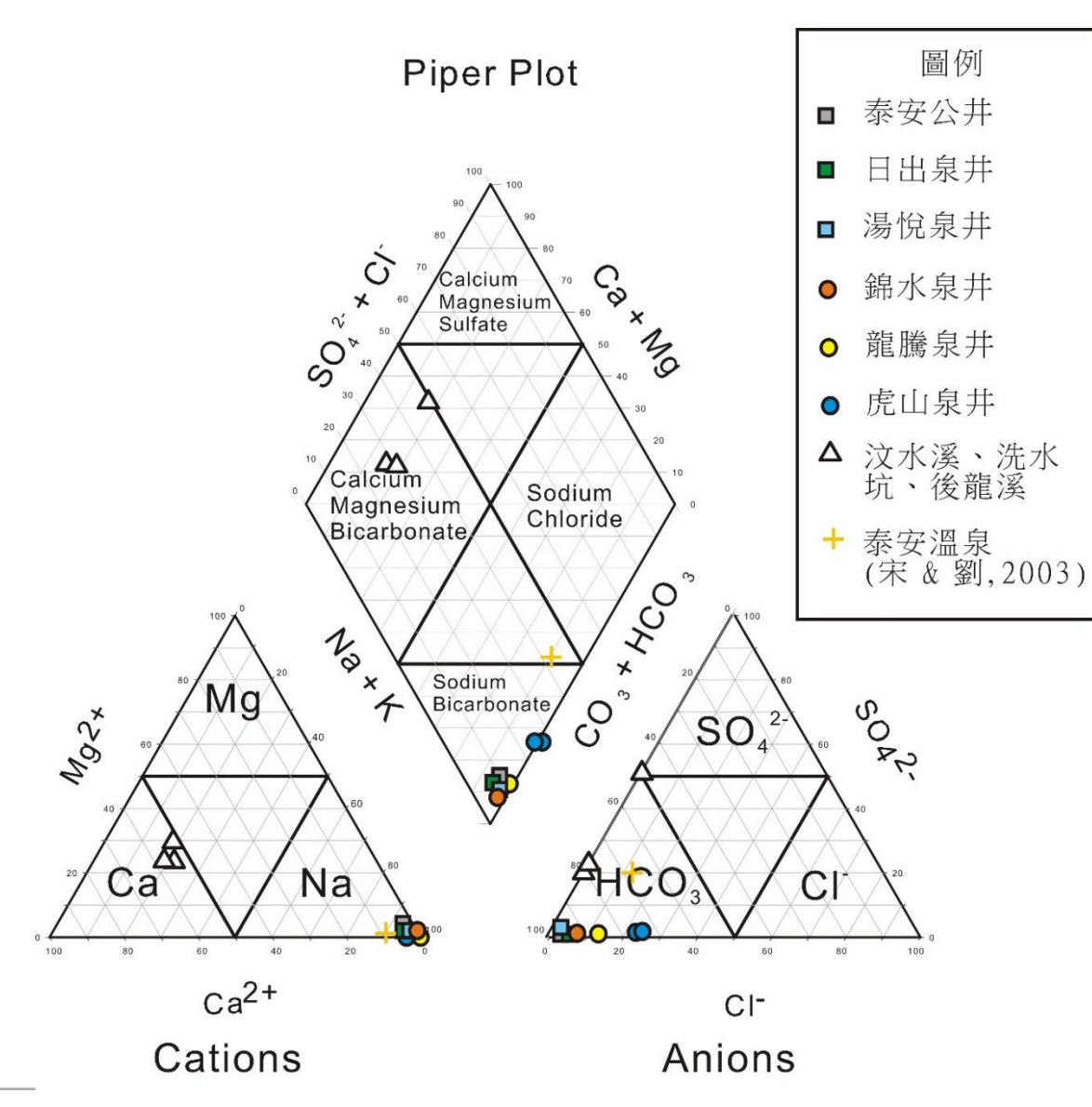
*非井頭直接採水



National Taiwan University



在主要的陰陽離子特性,溫泉井的圖示為正方形, 則為圓形, 地表水為白色三角形 分以**鈉**的成分為主,陰離的成分, 在水化學的類型 piper圖中,大部分則是以碳酸氫鈉泉

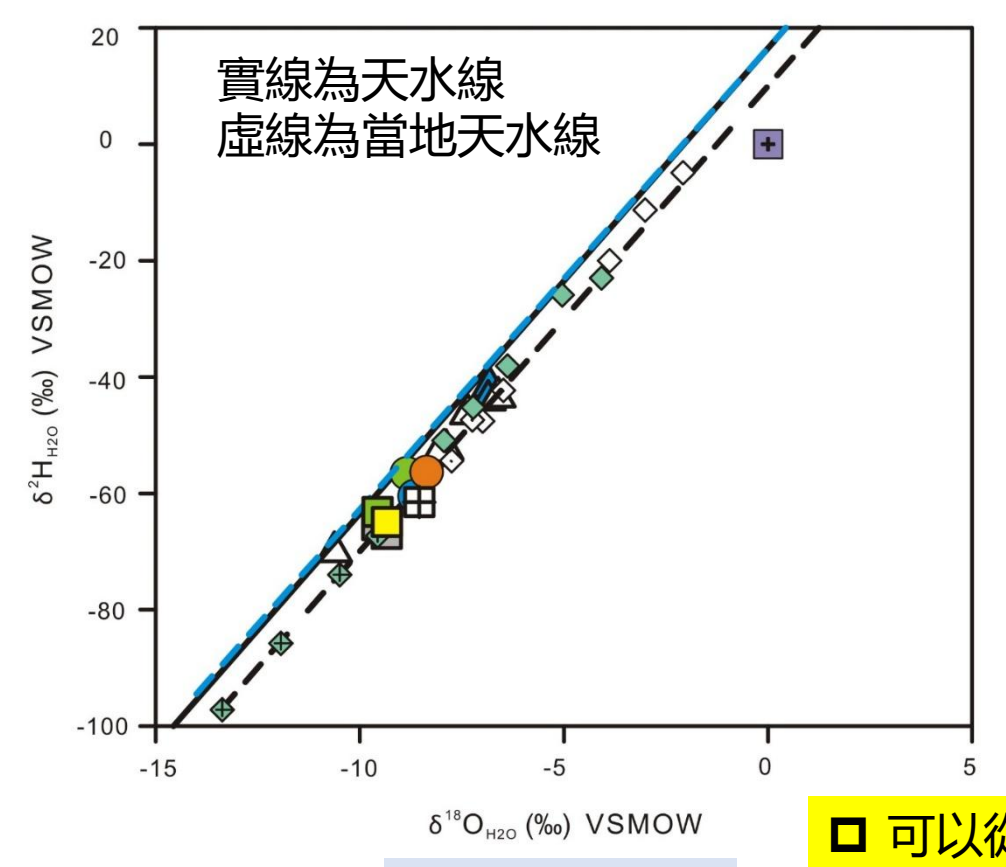


水的氫同位素

Science and Technology Research Institute for DE-Carbonization

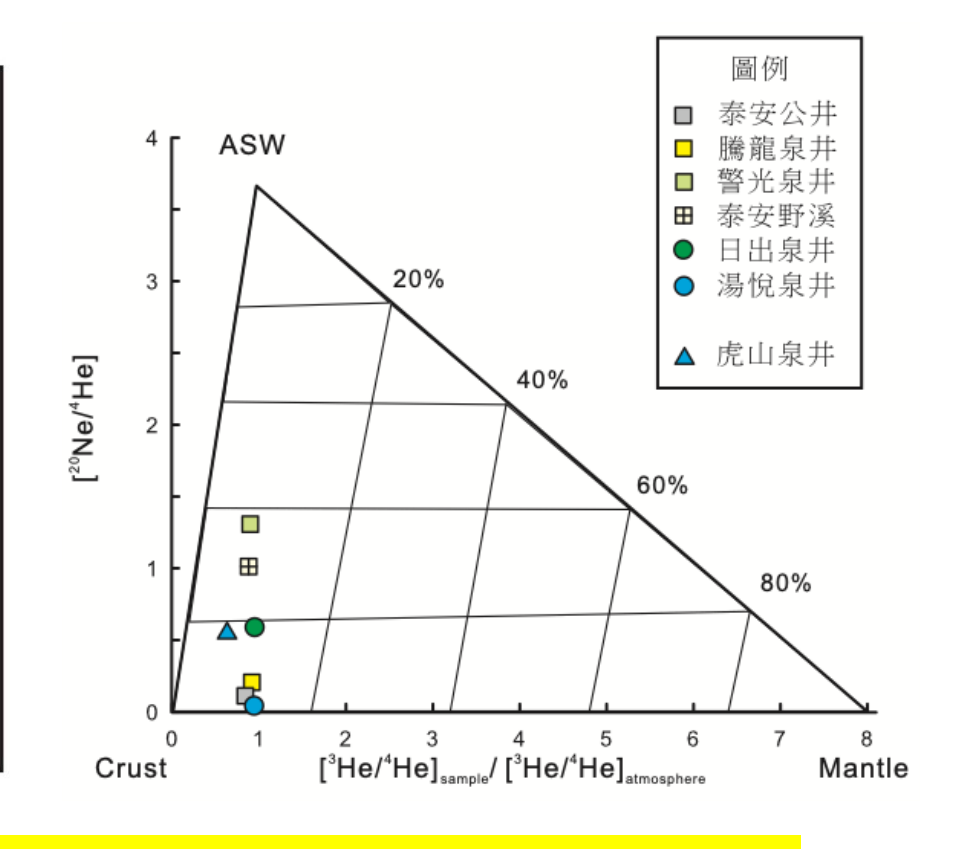
水的氫、氧同位素與氦同位素





水的氧同位素



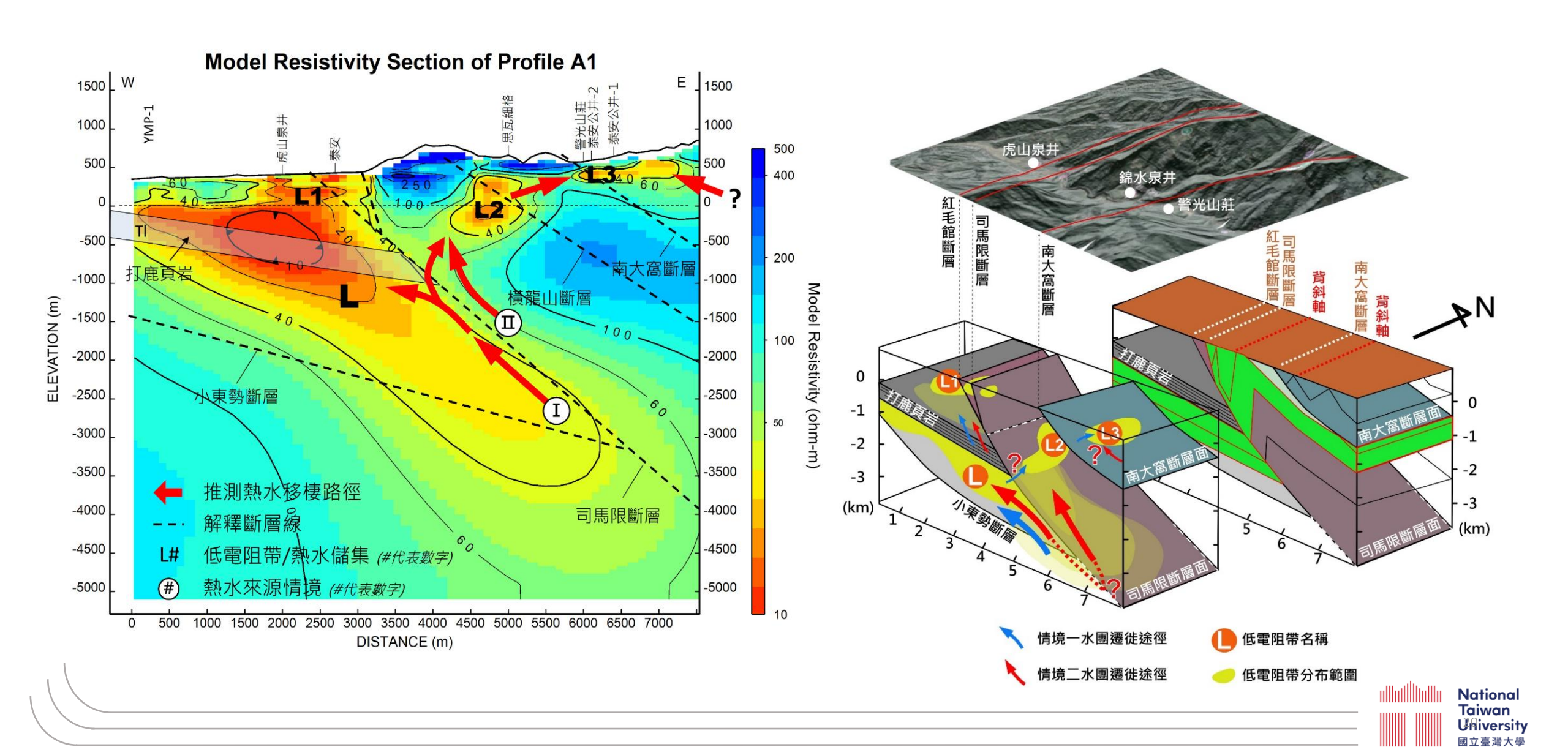


可以從氫氧同位素推測水的補助來源

- 大部分的點都落在天水線附近, 這些溫泉的熱水補助主要
- **惰性氣體常被拿來當做是岩漿、地殼來源訊號的示蹤劑,** 地殼、地函三端源有三個很明顯的不同的組成



國立臺灣大學新碳勘科技研究中心 古栗泰安地區地熱地質模式簡圖 Science and Technology Research Institute for DE-Carboniza 古栗泰安地區地熱地質模式簡圖



國立臺灣大學新碳勘科技研究中心 是工艺地熱數值模型進行生產與回注模擬 Science and Technology Research Institute fo

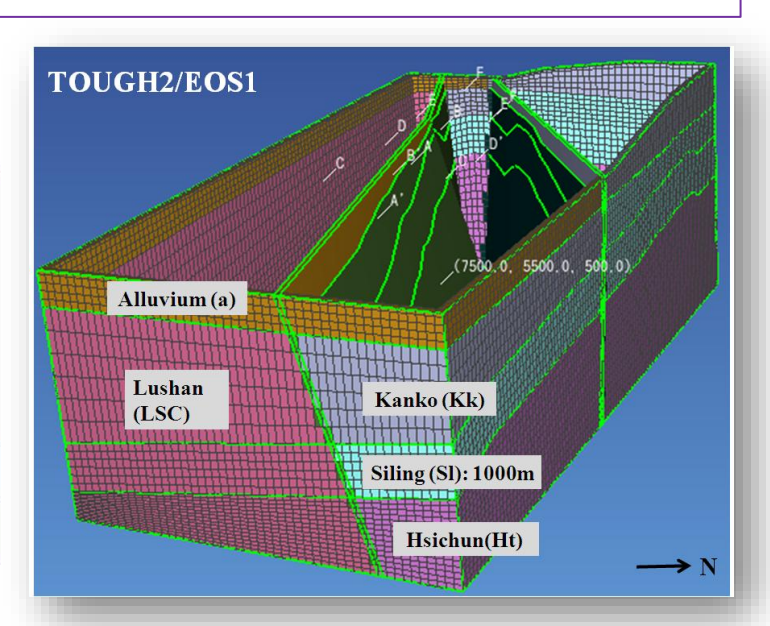
宜蘭清水地熱概念模式

- ✓ 地質構造/斷層系統
- ✓ 地層分布
- 儲集層位置深度溫度
- ✓ 熱源
- ✓ 水的補助及循環



TOUGH系列軟體

- 多相流(水、蒸氣、非凝結性氣體)
- 相變化
- 熱傳導/熱對流
- 地下水流動/尾水回注
- 裂隙
- 熱-水耦合過程

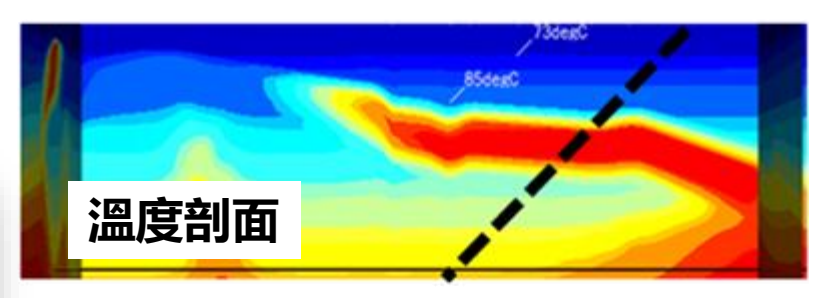


模擬結果輸出



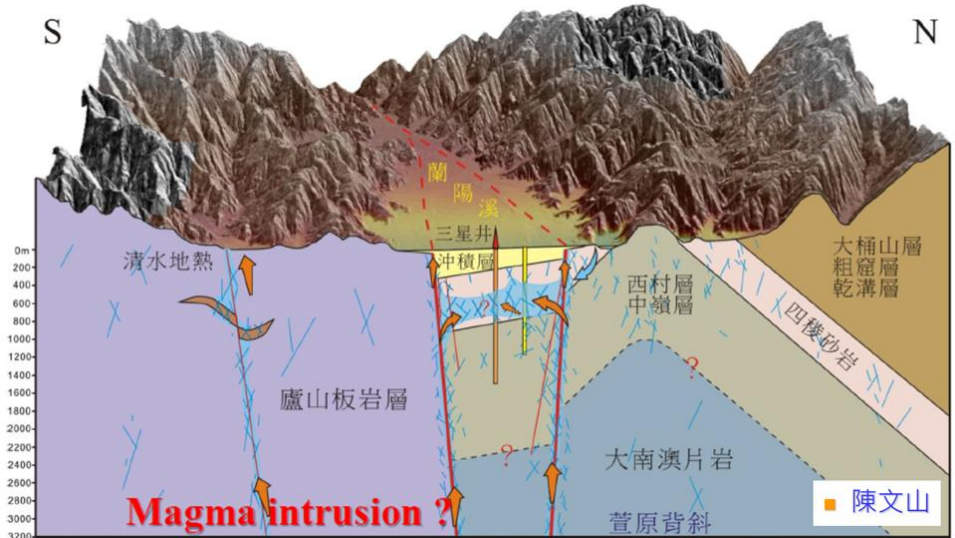
計算不同取水量 及不同回注量條件下

- > 地下水流速方向的改變
- 溫度分布壓力變化範圍



模擬→整合調查成果、 延伸到預測

目標:提升調查效能、 支撐工程決策



三維地熱地質概念模型示意圖(宜蘭地區為例)





- 各類地質調查資料提供了「模型結構、物性分布與驗證依據」 透過整合這些資料,模擬才能真正反映地下實際情況, 並反過來用模擬結果協助詮釋觀測資料
- 地化資料不只用來「描述現況」,更是模擬化學初始條件、反應邊界與模型驗 證的重要依據
- 利用水化學分析 (Piper 圖、主要離子組成) 與氫氧同位素資料,建立地熱系統 的化學初始條件與水循環概念模型,並結合溫泉實測pH、溫度等現地監測資訊, 以支持後續的多重物理模擬

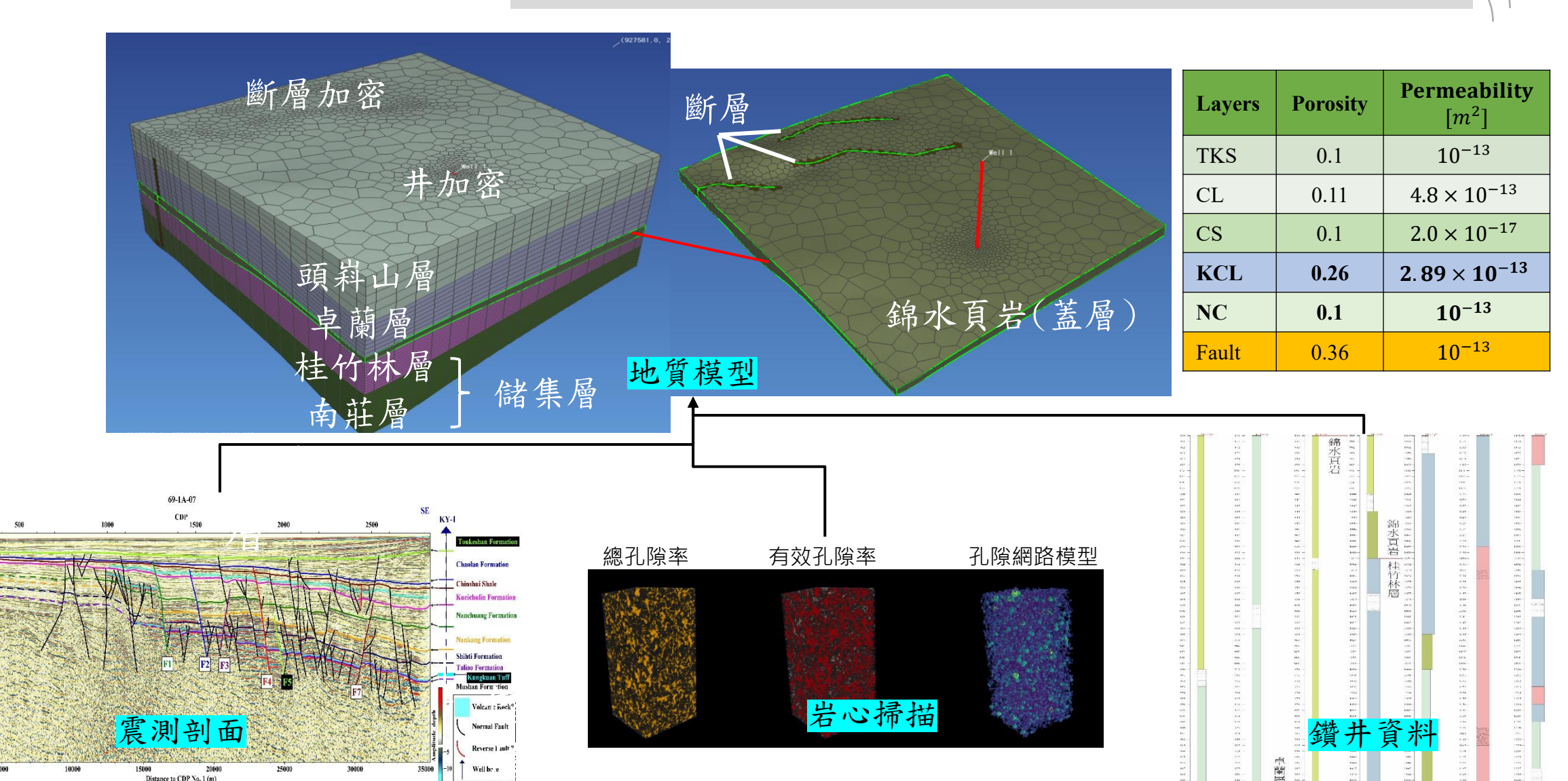


數值模擬在二氧化碳封存中的應用

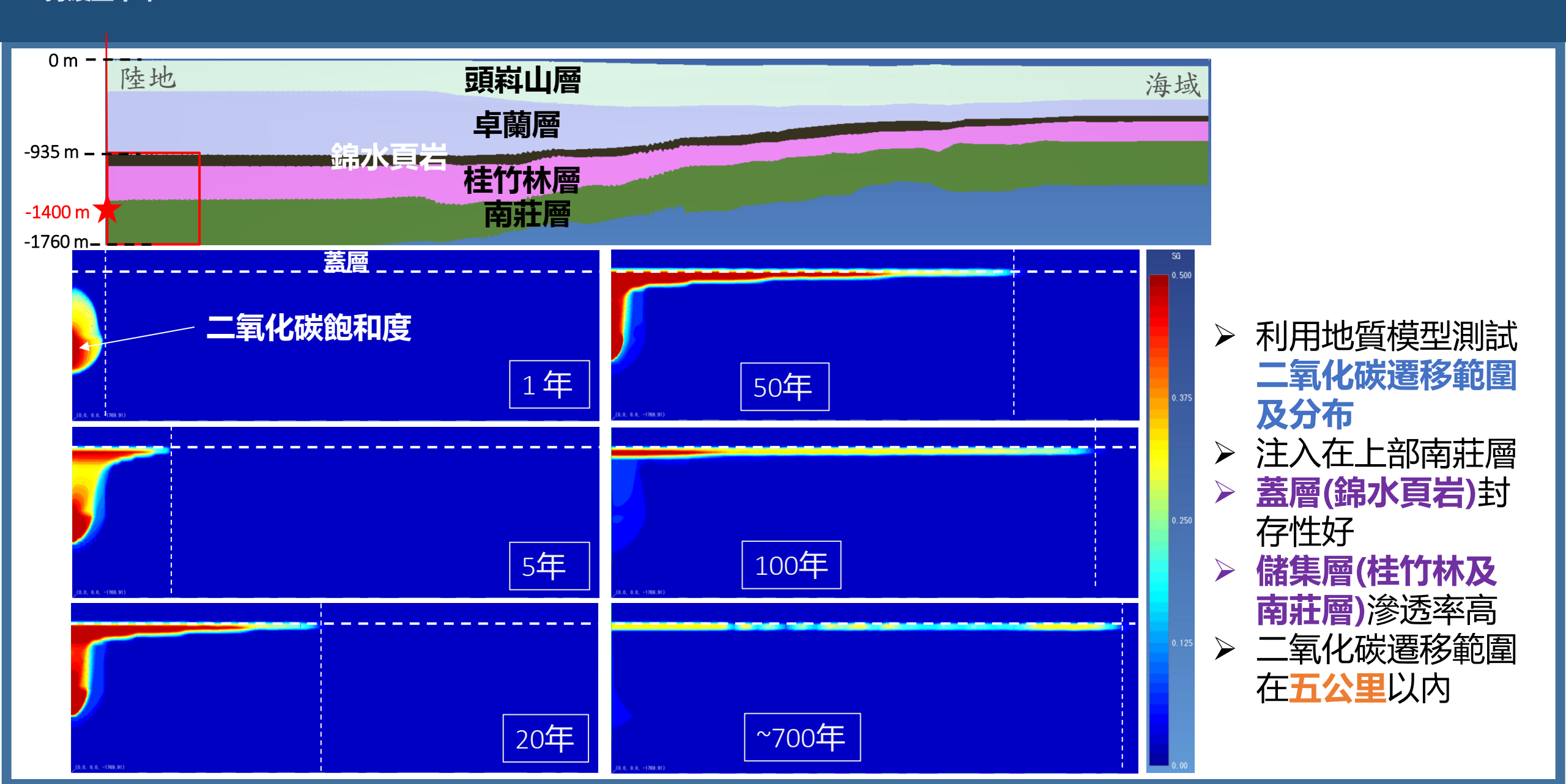


國立臺灣大學新碳勘科技研究中心 **結合地質地物資料建立三維地質模型** Science and Technology Research Institute for DE-C

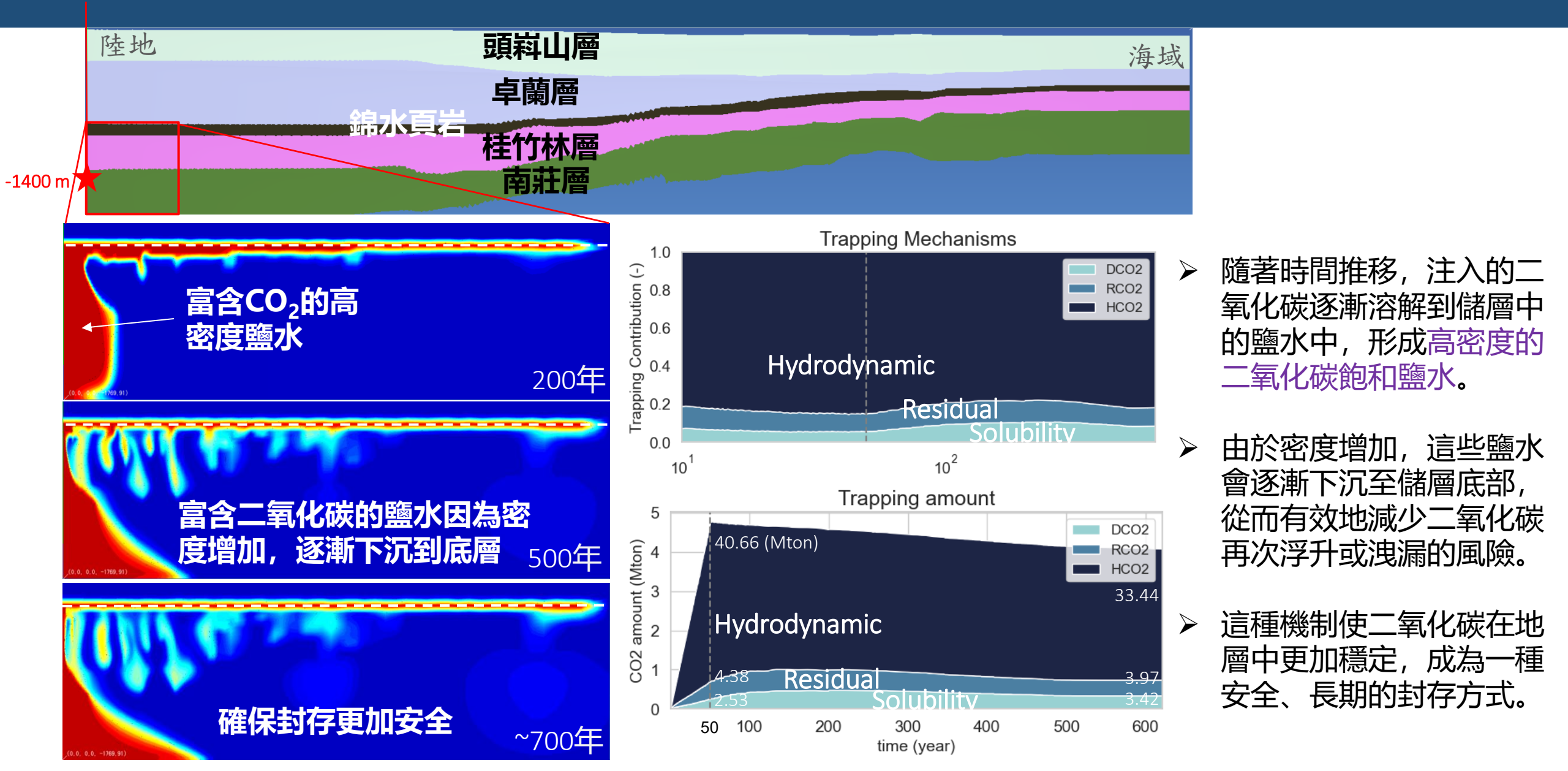
National Taiwan University



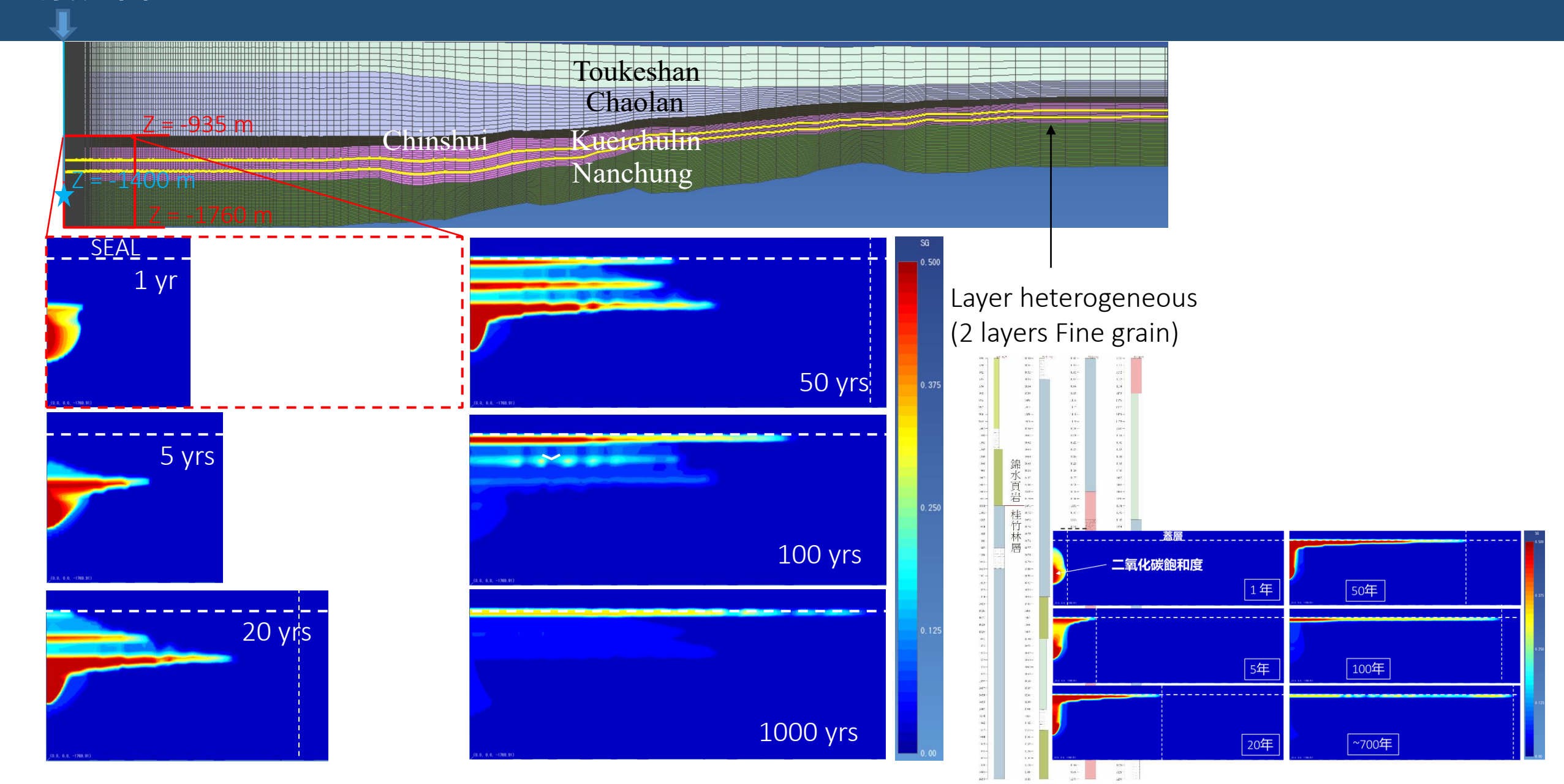
二氧化碳在深地質鹽水層的移棲模擬



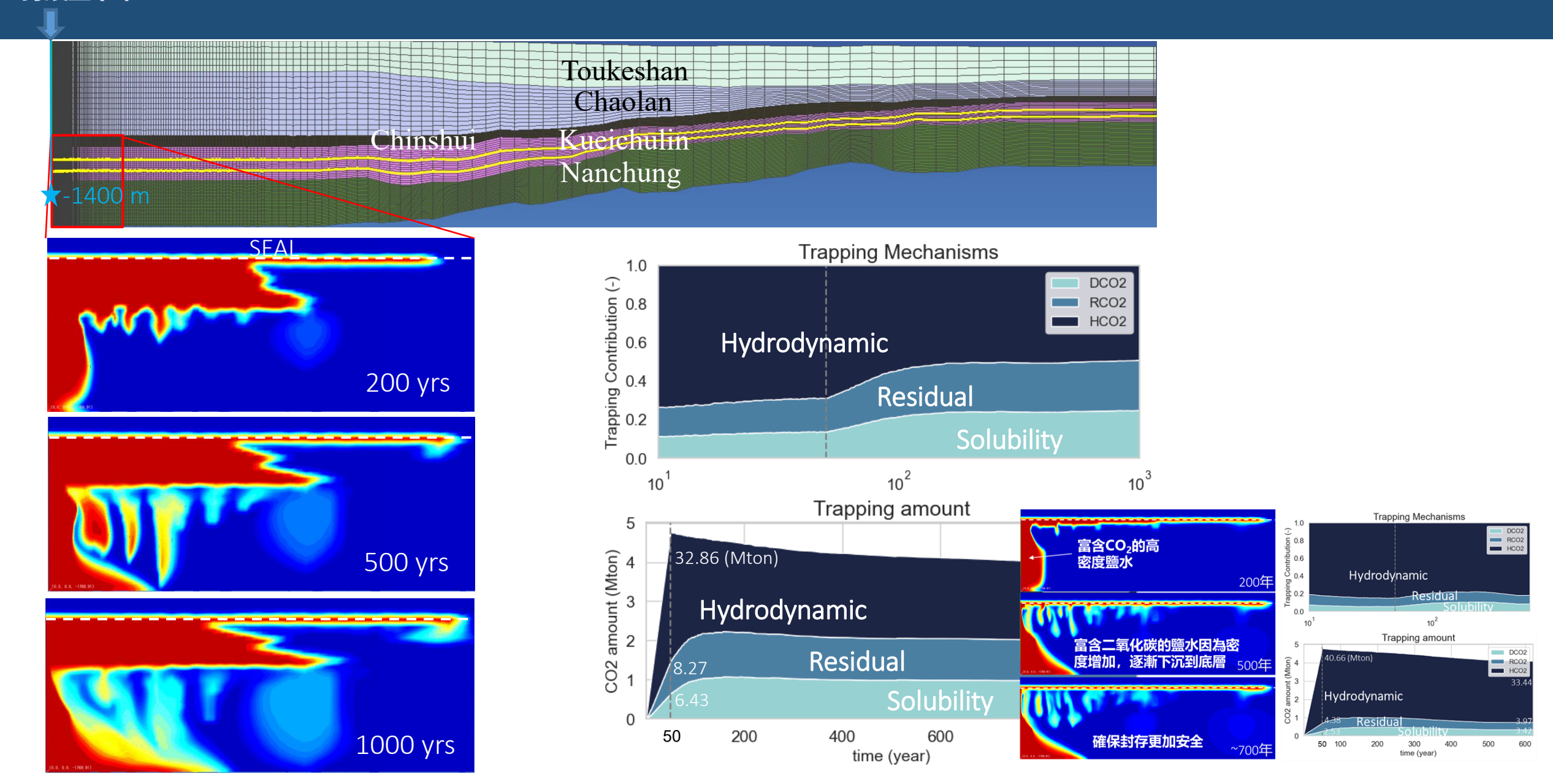
溶解在鹽水層中的二氧化碳使封存更加安全和穩定



二氧化碳在深地質鹽水層的移棲模擬(考慮異質性)



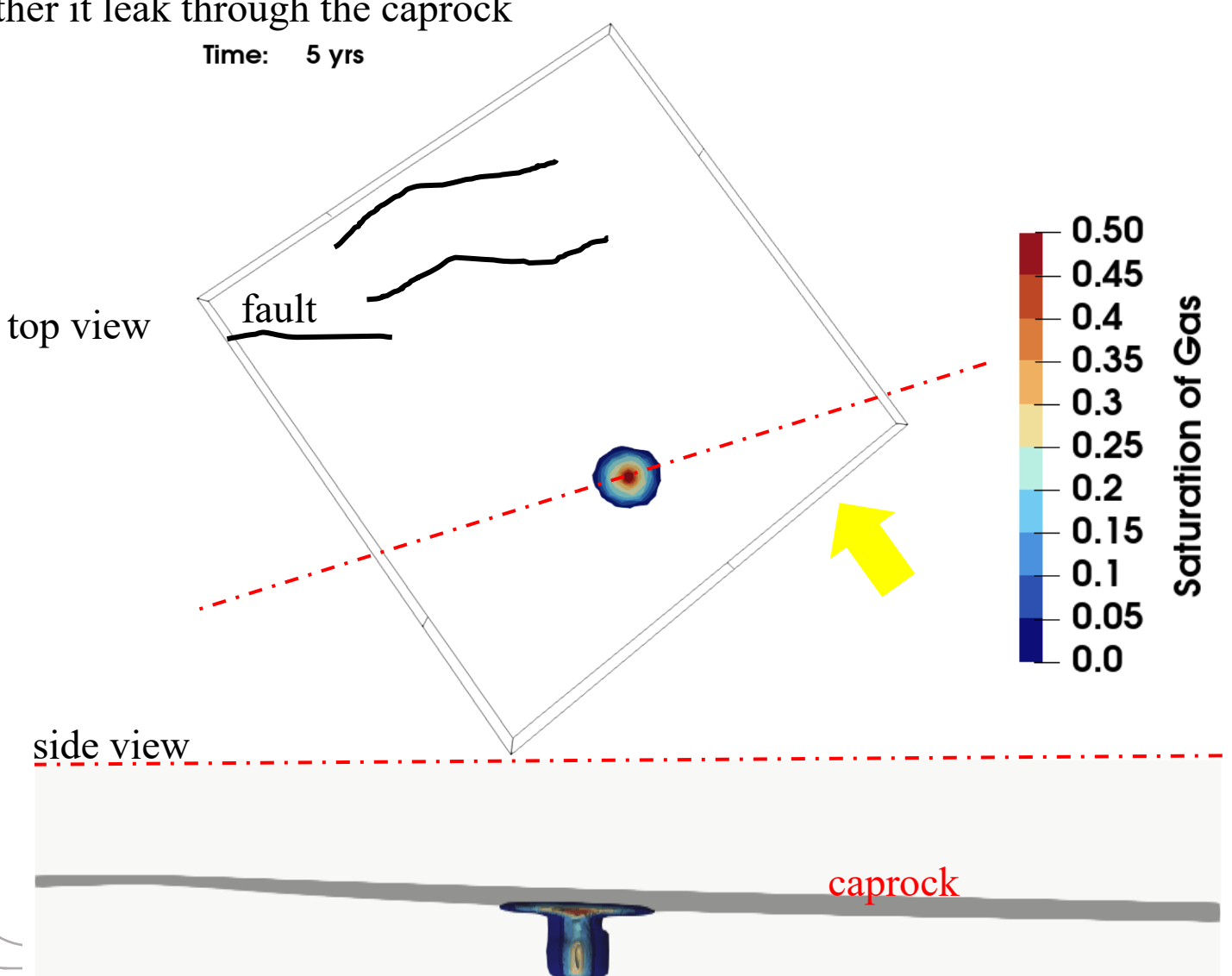
溶解在鹽水層中的二氧化碳(考慮異質性)



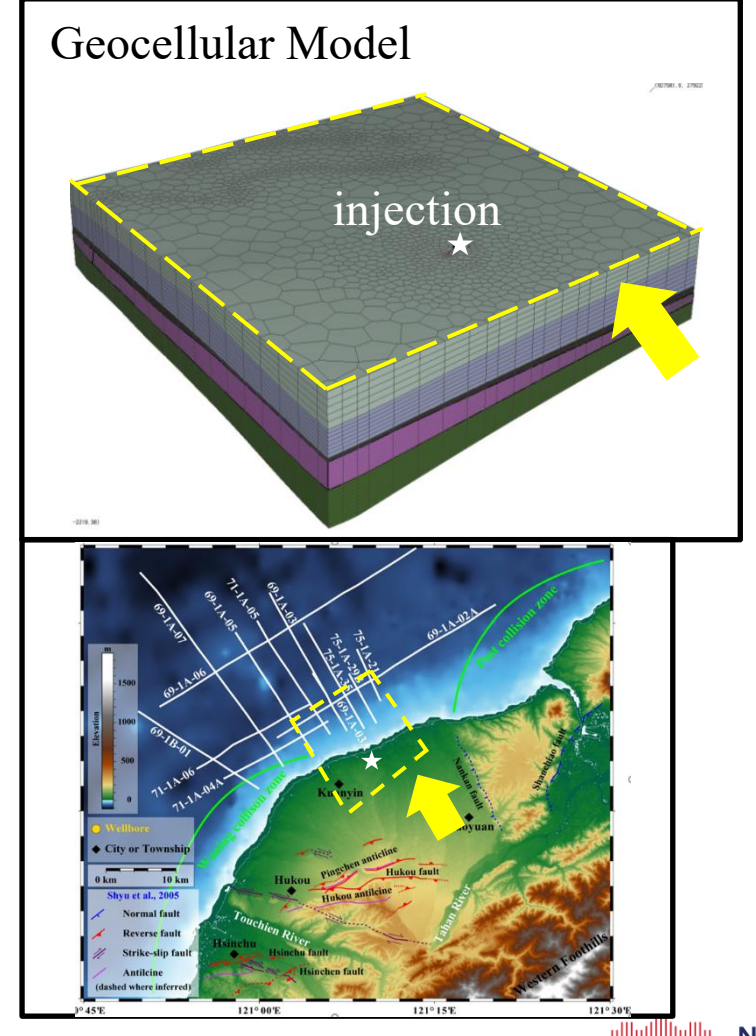


國立臺灣大學新碳勘科技研究中心 — 二維現地尺度模擬結果 — 二氧化碳遷移範圍 Science and Technology Research Ins

Predict the CO₂ migration range over time and evaluate whether it leak through the caprock



Inject 50 yrs, 1 Mt/yr





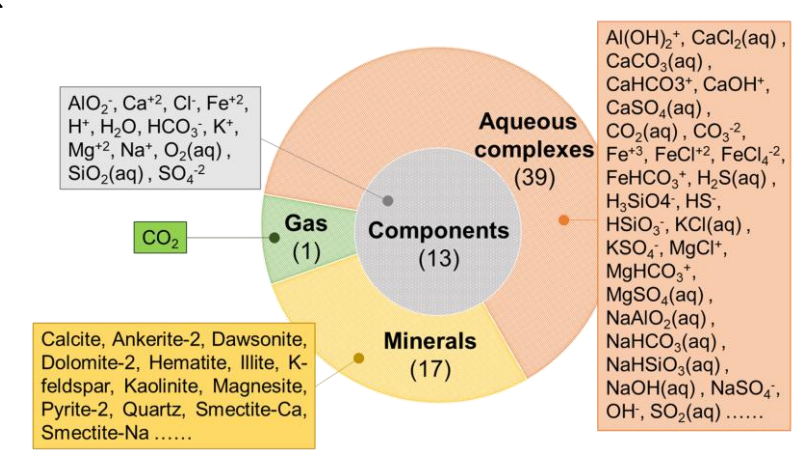
礦化封存反應

Input parameter from previous study: Xu et al. 2004

Geometry/mesh/conceptual model (Axisymmetric)

Geochemical Reaction Networks under Deep Geological Formations

- CO₂injection rate: ~3 Mt/yr
- Reaction network
 - 13 Components
 - 39 AQs.
 - 17 MNs.
 - 1 Gas
 - = 56 reactions



(DePaolo & Cole, 2013; Xu et al. 2004)

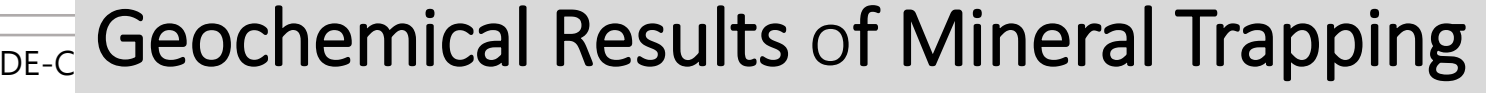
of Mineral trapping

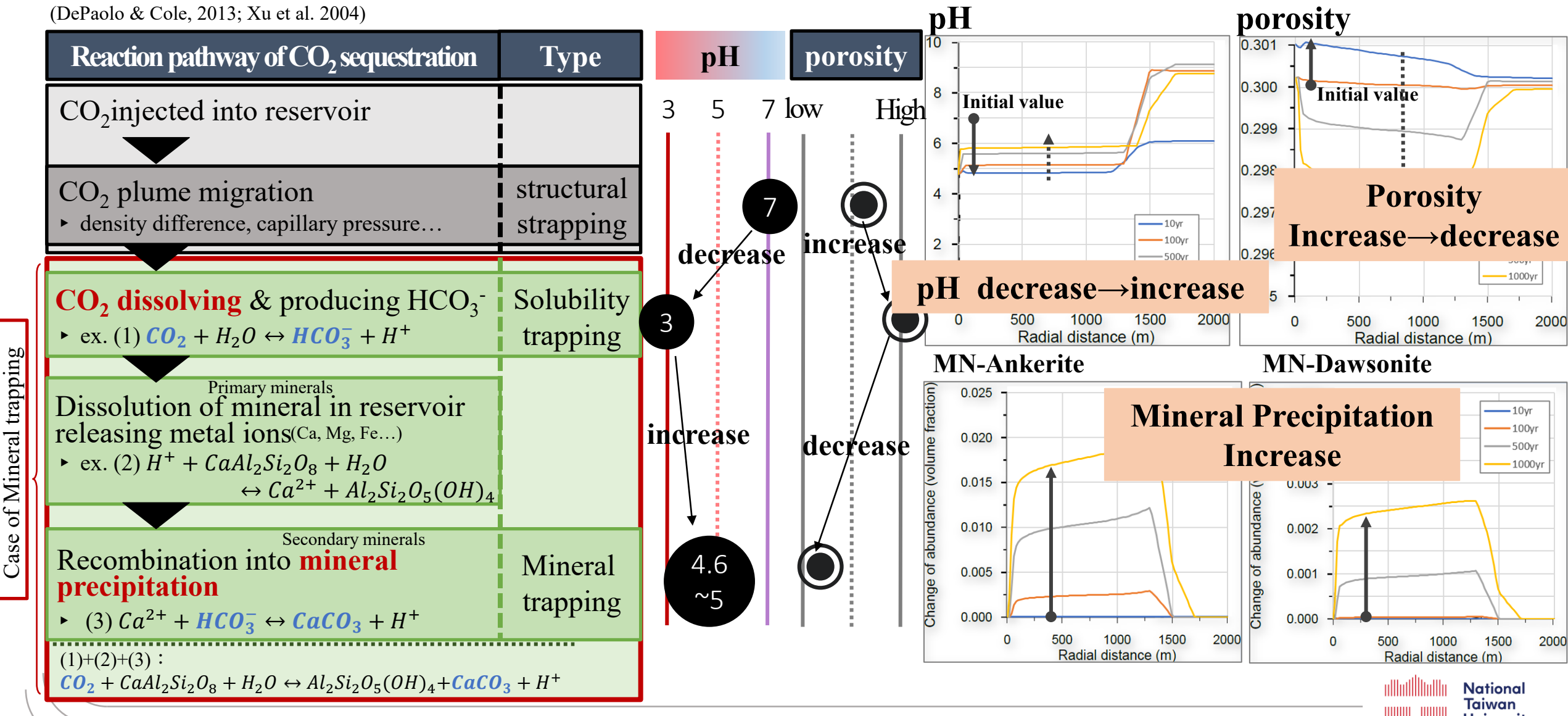
Reaction pathway of CO ₂ sequestration	Type
CO ₂ injected into reservoir	
CO ₂ plume migration ▶ density difference, capillary pressure	structural strapping
CO ₂ dissolving & producing HCO_3^- • ex. (1) $CO_2 + H_2O \leftrightarrow HCO_3^- + H^+$	Solubility trapping
Dissolution of mineral in reservoir releasing metal ions(Ca, Mg, Fe) • ex. (2) $H^+ + CaAl_2Si_2O_8 + H_2O$ $\leftrightarrow Ca^{2+} + Al_2Si_2O_5(OH)_4$	
Recombination into mineral precipitation • (3) $Ca^{2+} + HCO_3^- \leftrightarrow CaCO_3 + H^+$	Mineral trapping
$\begin{array}{c} (1)+(2)+(3):\\ {\it CO}_2 + {\it CaAl}_2{\it Si}_2{\it O}_8 + {\it H}_2{\it O} \leftrightarrow {\it Al}_2{\it Si}_2{\it O}_5({\it OH})_4 + {\it CaCO}_3 \\ \end{array}$	₃ + H ⁺



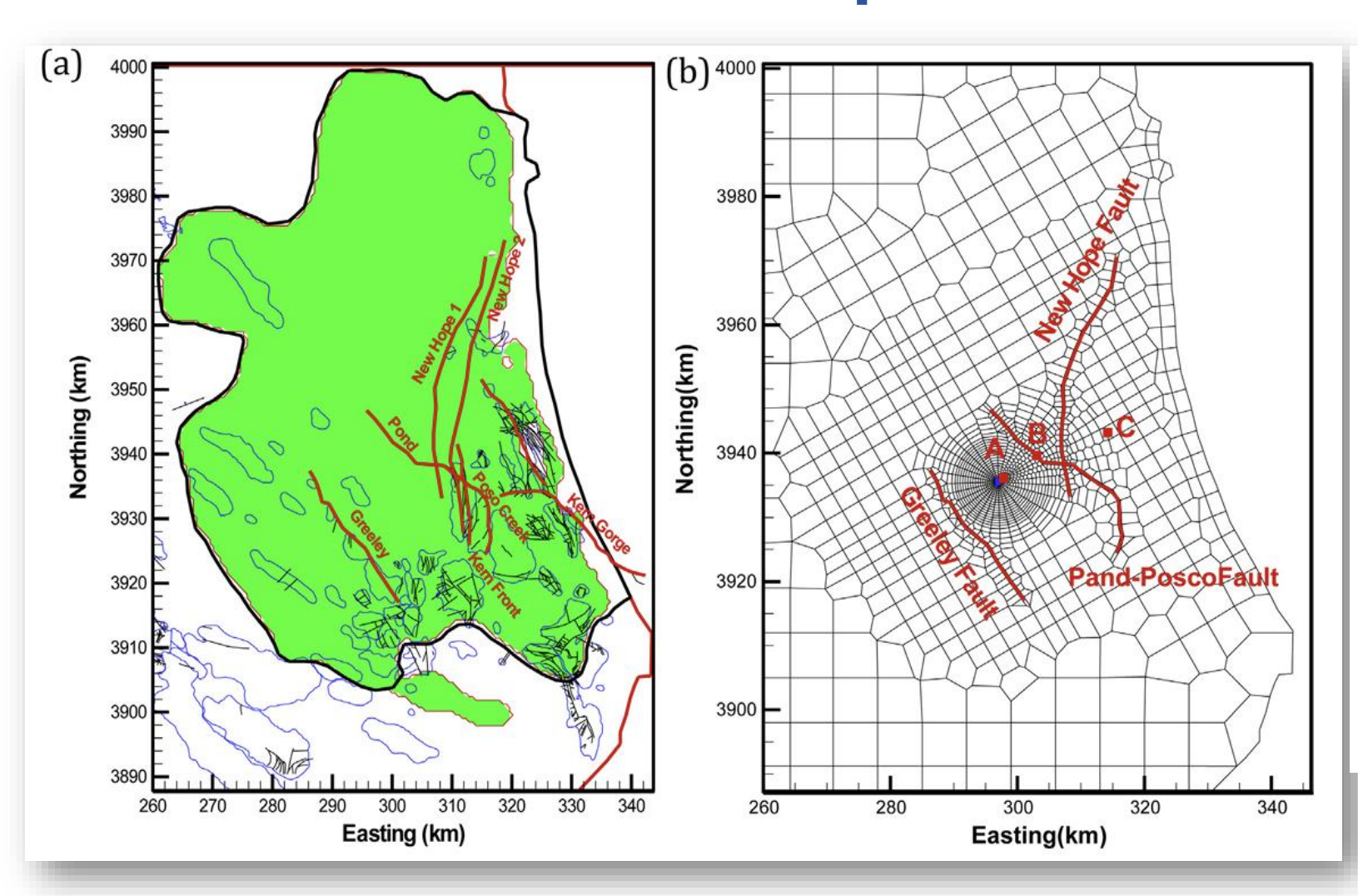
						17 precipitation/dissolution	n reactions	
	#	mineral		reaction		considered in mineral trap		
	MN 1	Calcite	方解石	$CaCO_3 + H^+ = Ca^{2+} + H$	CO_3^-	considered in infineral trap	ping case	
	MN 2	Chlorite	綠泥石	$(Fe, Mg)_5 Al(Si_3Al)O_{10}(OH)_8 + 8 H^+$ = $3 SiO_{2(aq)} + 2.5 Fe^{2+} + 2.5 Mg^{2+} + 8 H_2O + 2 AlO_2^-$			Chamosite	
	MN 3	Hematite	赤鐵礦	$Fe_2O_3 + 4H^+ = 2H_2O + 0.5O_{2(aq)} + 2Fe^{2+}$				
PRIMARY	MN 4	Illite	伊利石	$K_{0.6}(Al, Mg)_2(Si, Al)_4O_{10}(OH)_2$ = 1.2 H ⁺ + 0.25 Mg ²⁺ + 0.6 K ⁺ + 3.5 SiO _{2(aq)} + 0.4 H ₂ O + 2.3 AlO ₂ ⁻				
Z Z	MN 5	K-feldspar	鉀長石	$KAlSi_3O_8 = K^+ + 3SiO_2$	$(aq) + AlO_2^-$			
4	MN 6	Kaolinite	高嶺土	$Al_2Si_2O_5(OH)_4 = 2H^+ + 2SiO_2 + H_2O + 2AlO_2^-$				
	MN 7	Oligoclase	奧長石	$5 (Ca, Na)(Al, Si)_4 O_8 = 4 Na^+ + 14 SiO_{2(aq)} + Ca^{2+} + 6AlO_2^-$				
	MN 8	Quartz	石英	$SiO_2 = SiO_{2(aq)}$				
	MN 9	Smectite-Na	蒙脫石	$(smectite - na) = 0.52 H_2O + 0.29 Na^{2+} + 0.96 H^+ + 0.26 Mg^{2+} + 3.97 SiO_{2(aq)} + 1.77 AlO_2^-$				
	MN 10	Albite(low)	鈉長石	$NaAlSi_3O_8 = Na^+ + 3SiO_{2(aq)} + AlO_2^-$		Low: 低溫產生		
	MN 11	Ankerite-2	鐵白雲石	$Ca(Fe, Mg, Mn)(CO_3)_2 +$		是礦物封存,		
7	MN 12	Dawsonite	片鈉鋁石	$NaAlCO_3(OH)_2 = H^+ + H$		隨著注入地層後的 封存時間增加,溶解的二氧 與天然鹽水層內的礦物相互作用並轉化為離子! 礦物形式封存。		
CONDA	MN 13	Dolomite-2	白雲石	$CaMg(CO_3)_2 + 2H^+ = C$				
0	MN 14	Magnesite	菱鎂礦	$MgCO_3 + H^+ = Mg^{2+} + 1$	12 4 10 20 10 2	温度和孔隙		
SE(MN 15	Pyrite-2	黃鐵礦	$FeS_2 + H_2O + 3.5 O_{2(aq)}$				
	MN 16	Siderite-2	菱鐵礦	$FeCO_3 + H^+ = Fe^{2+} + H$				
	MN 17	Smectite-Ca	蒙脫石	(smectite - ca) = 0.52 H	$C_2O + 0.145 Ca^{2+}$	$G + 0.96 H^+ + 0.26 Mg^{2+} + 3.97 SiO_{2(aq)} + 1.77$	7 AlO ₂	

國立臺灣大學新碳勘科技研究中心 Science and Technology Research Institute for DE-C





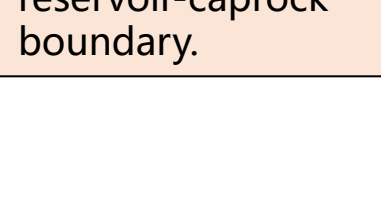
Case Studies: Large-Scale CO2 Storage Systems at Southern San Joaquin Basin, California



- Model domain: 84km x 112 km
- ➤ 12 discontinuous or continuous formations
- 5 Mt/yr injection for 50 yrs
- ➤ Total simulation time 200 years
- > TOUGH2-MP/ECO2N
- > 64,214 elements
- Significant mesh refinement can be seen in the center of the domain

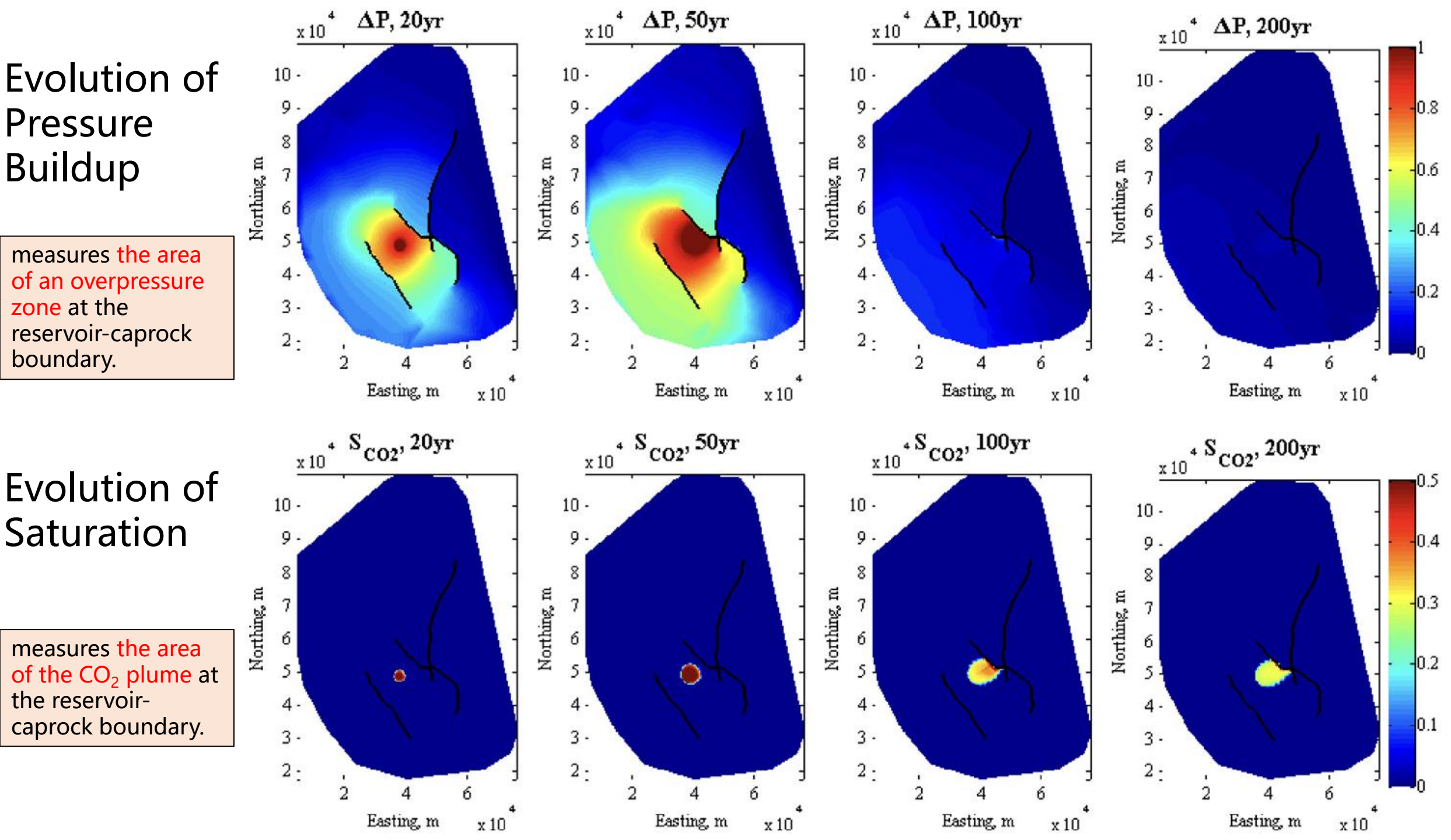
Evolution of Pressure Buildup

measures the area of an overpressure zone at the reservoir-caprock boundary.



Saturation

measures the area of the CO₂ plume at the reservoircaprock boundary.



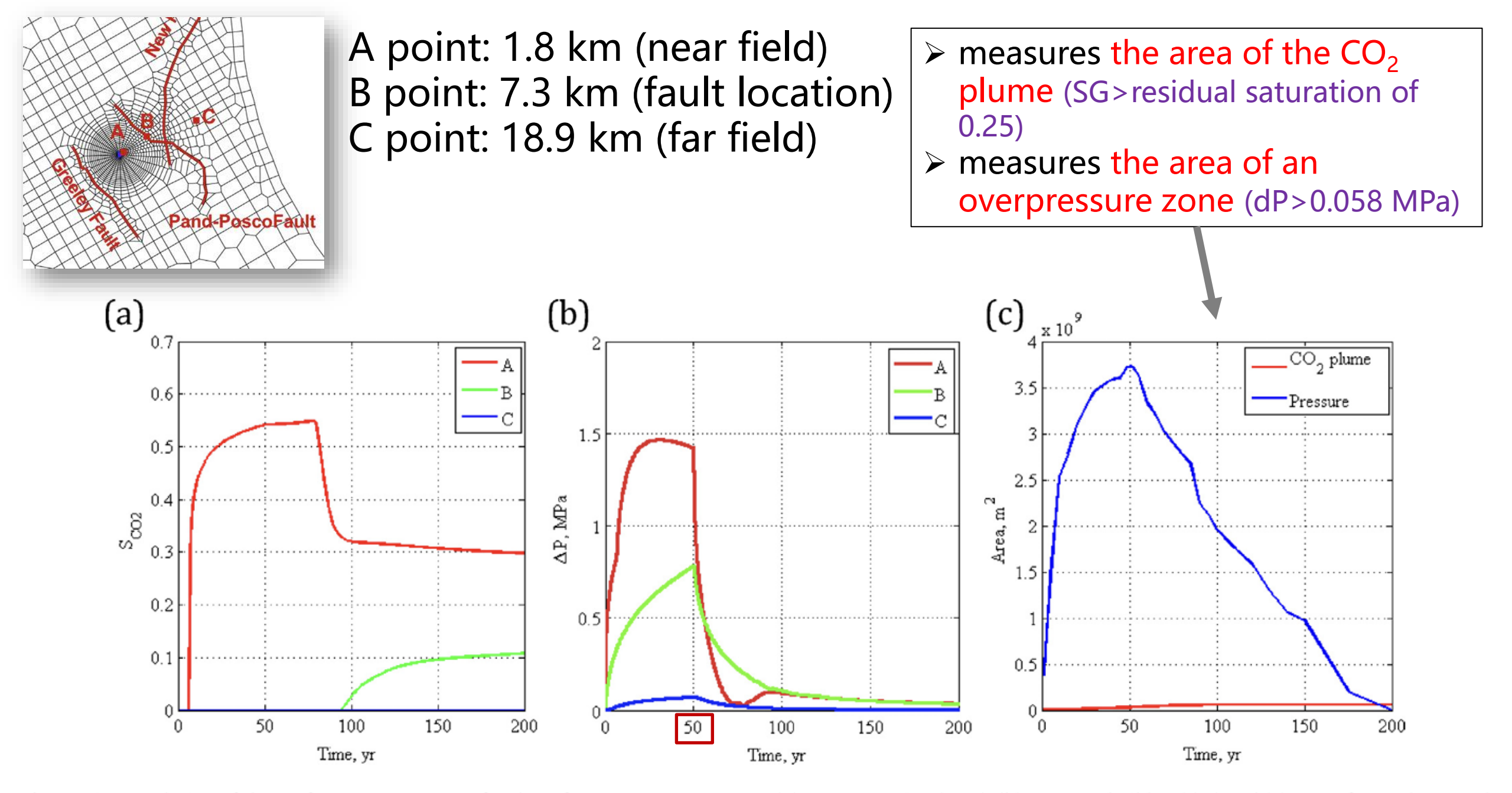


Fig. 4. Time evolution of the performance measures for the reference parameter case: (a) CO_2 saturation (S_{CO_2}), (b) pressure buildup (ΔP) and (c) area of CO_2 plume and overpressure zones.



- 模擬不能取代調查,而是整合調查結果、 放大資料價值
- 在地熱與 CCS 中已展現關鍵角色
- 未來可作為 整合與預測的核心工具

